

lineaire tijdsonafhankelijke

systemen en hun

mathematisch model

Samenvatting

Gilles Collebaut

Hoofdstuk 1 : lineaire tijdsafh. systemen en hun mathematisch model

Het mathematisch model

Voor een LTO: $B_n \frac{d^n y}{dt^n} + \dots + B_0 y = A_m \frac{d^m u}{dt^m} + \dots + A_0 u$

Lineariteit:

↳ voldoen aan superpositie-principe

$$\begin{array}{l} u_1(t) \rightarrow y_1(t) \\ + \\ u_2(t) \rightarrow y_2(t) \\ \hline \end{array}$$

$$u_1 + u_2 \rightarrow y_1 + y_2$$

Tijdsafhankelijk:

dan

$$\begin{array}{l} u(t) \rightarrow y(t) \\ \hookrightarrow \\ u(t-z) \rightarrow y(t-z) \end{array}$$

Causaliteit:

op een bepaald tijdstip t

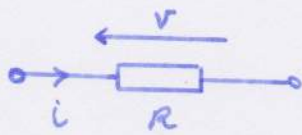
↳ uitgangssignaal enkel afhankelijk van op dat moment ingangssignaal

↑

kan de toekomst niet voorspellen

Eenvoudige elektrische L.T.O.-systemen

Weerstand

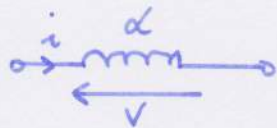


$$v = Ri$$

$$i = \frac{v}{R}$$

$$dW = v dq = Ri^2 dt \quad \leftarrow \text{warmte door het joule-effect. (niet-reversibel)}$$

Spoel

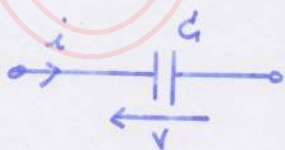


$$v = L \frac{di}{dt}$$

$$\rightarrow i = \frac{1}{L} \int_0^t v dt + i_0$$

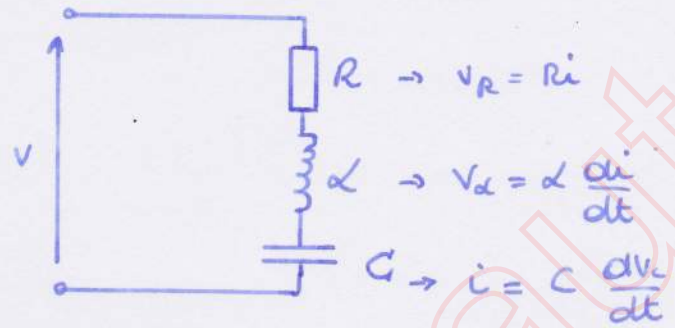
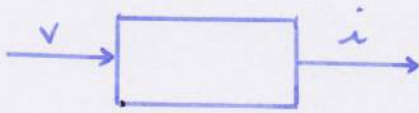
$$dW = v dq = L \frac{di}{dt} dq$$
$$= L d\left(\frac{i^2}{2}\right) \quad \leftarrow \text{magn. veld (reversibel)}$$

Condensator



$$v = v_0 + \frac{1}{C} \int_0^t i dt \quad \leftarrow \quad i = C \frac{dv}{dt}$$

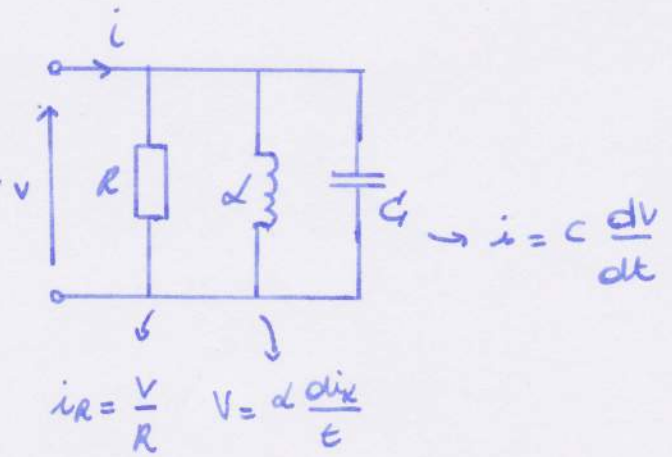
$$dW = v dq = \frac{1}{C} dq^2 = d\left(\frac{q^2}{2C}\right) \quad \leftarrow \text{elektr. veld (reversibel)}$$



$$L \frac{di}{dt} + R \frac{di}{dt} + \frac{1}{C} i = \frac{dv}{dt}$$

$$i = \frac{dq}{dt}$$

$$L \frac{d^2q}{dt^2} + R \frac{dq}{dt} + \frac{1}{C} q = v$$

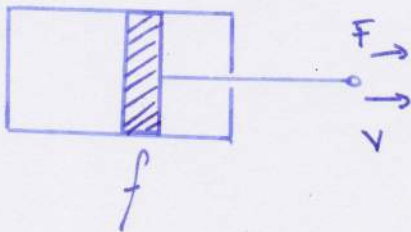


$$C \frac{d^2v}{dt^2} + \frac{1}{R} \frac{dv}{dt} + \frac{1}{L} v = \frac{di}{dt}$$

Eenvoudige mechanische L.T.O. - systemen

translatie

wrijvingsweerstand

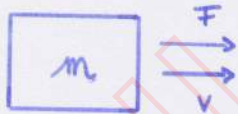


$$v = \frac{1}{f} F \quad \leftarrow \quad F = f v$$

$$\begin{aligned} dw &= F dx \\ &= f v dx \\ &= f v^2 dt \end{aligned}$$

← wrijvingsweerstand (warmte)

Massa

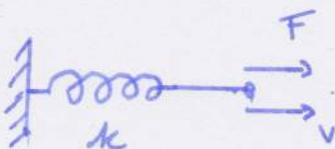


$$v(t) = v(0) + \int_0^t F dt \quad \leftarrow \quad F = m \frac{dv}{dt}$$

$$\begin{aligned} dw &= m \frac{dv}{dt} dx \\ &= d\left(\frac{mv^2}{2}\right) \end{aligned}$$

← kinetische energie

veer

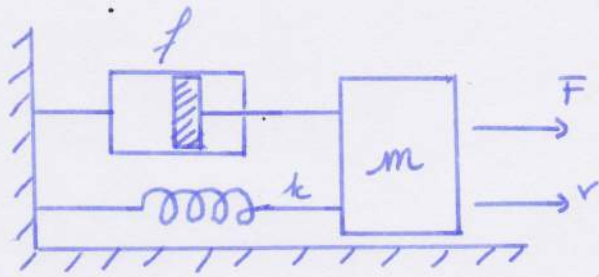


$$v = \frac{1}{k} \frac{dF}{dt} \quad \leftarrow \quad F = kx$$
$$F(t) = F_0 + k \int_0^t v dt$$

$$dw = kx dx$$

$$= d\left(k \frac{x^2}{2}\right)$$

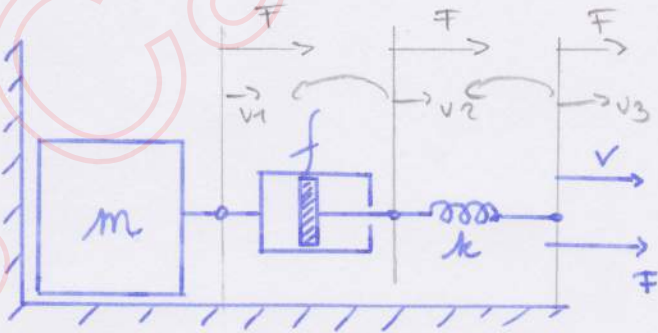
← potentiële energie



$$ma = \Sigma F \Leftrightarrow m \frac{dv}{dt} = F - fv - kx$$

$$m \frac{dv}{dt} + fv + kx = F \quad \left. \begin{array}{l} \\ \end{array} \right\} v = \frac{dx}{dt}$$

$$m \frac{d^2x}{dt^2} + f \frac{dx}{dt} + kx = F$$



$$v = v_1 + v_2 + v_3$$

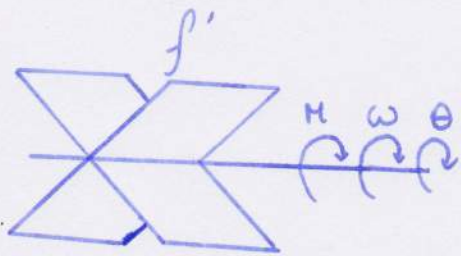
$$\rightarrow \frac{dv_1}{dt} = \frac{F}{m}$$

$$\rightarrow v_2 = \frac{F}{f}$$

$$\rightarrow v_3 = \frac{1}{k} \frac{dF}{dt}$$

$$\rightarrow \frac{1}{k} \frac{d^2F}{dt^2} + \frac{1}{f} \frac{dF}{dt} + \frac{1}{m} F = \frac{dv}{dt}$$

wijvingsweerstand



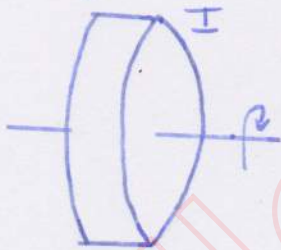
$$\omega = \frac{1}{f'} M$$

$$M = f' \omega$$

$$\begin{aligned} dW &= M d\theta \\ &= f' \omega d\theta \\ &= f' \omega^2 dt \end{aligned}$$

← wijvingsweerstand (warmte)

Traagheidsmoment



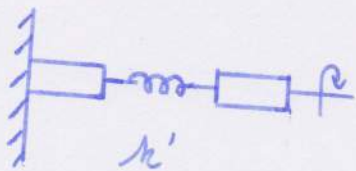
$$\omega(t) = \omega_0 + \frac{1}{I} \int_0^t M dt$$

$$M = I \frac{d\omega}{dt}$$

$$dW = d\left(\frac{I\omega^2}{2}\right)$$

← kin. en.

Torsie-veer



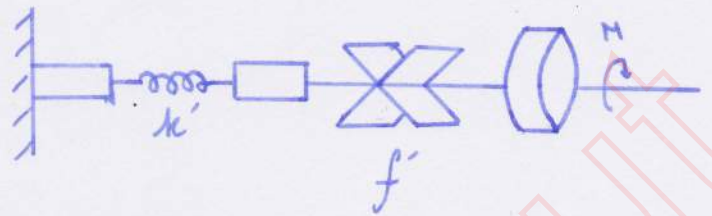
$$\omega = \frac{1}{k'} \frac{dM}{dt}$$

$$M = k' \theta$$

$$M(t) = M_0 + k' \int_0^t \omega dt$$

$$dW = d\left(\frac{k' \theta^2}{2}\right)$$

← pot. en.

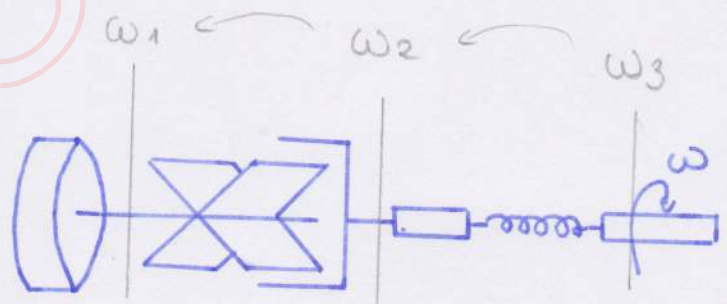


$$I \frac{d\omega}{dt} = \sum M = -k'\theta - f'\omega + M$$

$$\rightarrow I \frac{d^2\omega}{dt^2} + f' \frac{d\omega}{dt} + k'\omega = \frac{dM}{dt}$$

$$I \frac{d^2\theta}{dt^2} + f' \frac{d\theta}{dt} + k'\theta = M$$

$$\omega = \frac{d\theta}{dt}$$



$$\omega = \omega_1 + \omega_2 + \omega_3$$

$$M = I \frac{d\omega_1}{dt}$$

$$\omega_2 = \frac{1}{f'} M$$

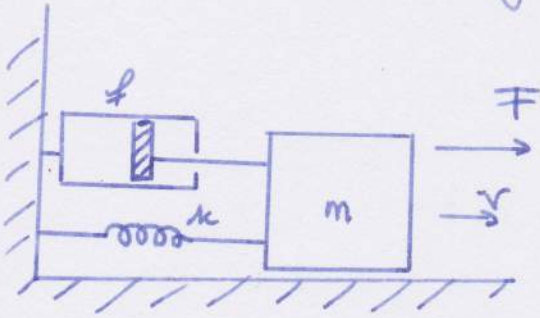
$$\omega_3 = \frac{1}{k'} \frac{dM}{dt}$$

$$\rightarrow \frac{1}{k'} \frac{d^2M}{dt^2} + \frac{1}{f'} \frac{dM}{dt} + \frac{1}{I} M = \frac{d\omega}{dt}$$

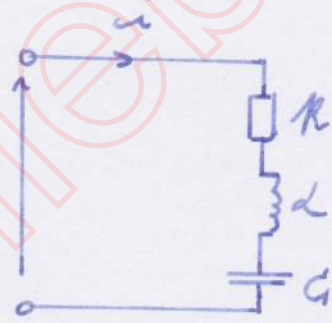
Analogie tussen systemen

↔ + omrekeningsfactor

massa-veer-dempersysteem:



serie RLC-keten



$$m \frac{d^2 v}{dt^2} + f \frac{dv}{dt} + kv = \frac{dF}{dt}$$

$$L \frac{d^2 i}{dt^2} + R \frac{di}{dt} + \frac{1}{C} i = \frac{dv}{dt}$$

↔

$$L = K_1 m$$

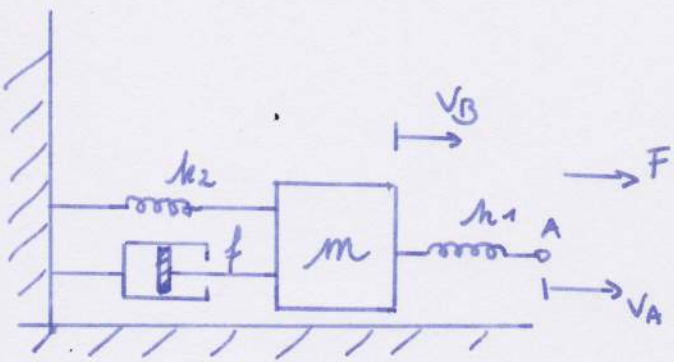
$$R = K_1 f$$

$$\frac{1}{C} = K_1 k$$

$$V(t) = K_2 F(t)$$

$$\rightarrow m \frac{d^2 \left[\frac{K_1}{K_2} i \right]}{dt^2} + f \frac{d \left[\frac{K_1}{K_2} i \right]}{dt} + k \left[\frac{K_1}{K_2} i \right] = \frac{dF}{dt}$$

$$\rightarrow V(t) = \frac{K_1}{K_2} i(t)$$



$$\text{veel 1: } v_A - v_B = \frac{1}{k_1} \frac{dF}{dt}$$

$$\text{massa: } m \frac{dv_B}{dt} + f v_B + k_2 \int_0^t v_B dt = F$$

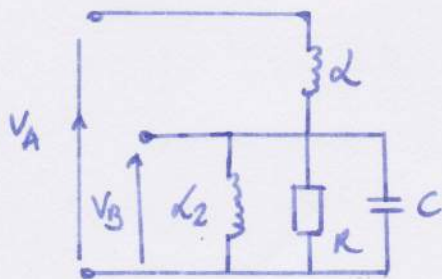
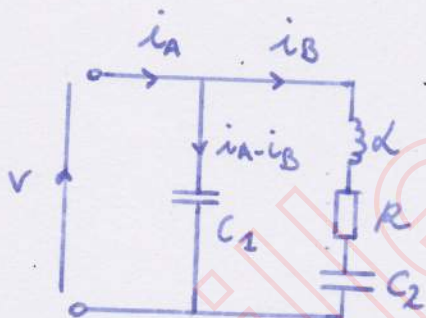
Analogie

$$L \frac{di_B}{dt} + R i_B + \frac{1}{C_2} \int_0^t i_B dt = v$$

$$C \frac{dv_B}{dt} + \frac{v_B}{R} + \frac{1}{L_2} \int_0^t v_B dt = i$$

$$i_A - i_B = C_1 \frac{dv}{dt}$$

$$v_A - v_B = L_1 \frac{di}{dt}$$



$$v_A(t) = \frac{k_1}{k_2} i_A(t)$$

$$v_A(t) = \frac{k_1}{k_2} v_A(t)$$

→ Snelheid

$$v_B(t) = \frac{k_1}{k_2} i_B(t)$$

$$v_B(t) = \frac{k_1}{k_2} v_B(t)$$

→ Snelheid

$$\frac{d}{d\tau} = \frac{1}{a} \frac{d}{dt}$$

— $a < 1$: versneld

\ $a > 1$: vertraagd

linearisatie

niet-lineaire verg $\xrightarrow{\text{Taylor}}$ als L.T.O. systemen
bestuderen

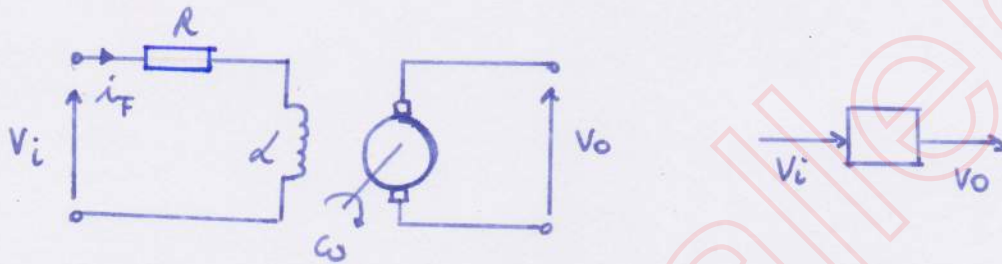
$f(x)$ berekening dicht bij x_0

$$\rightarrow f(x) = f(x_0) + \left. \frac{df}{dx} \right|_{x_0} (x - x_0) + \dots$$

als $(x - x_0)$ voldoende klein.

Eenvoudige elektromagnetische systemen

De Shunt-generator



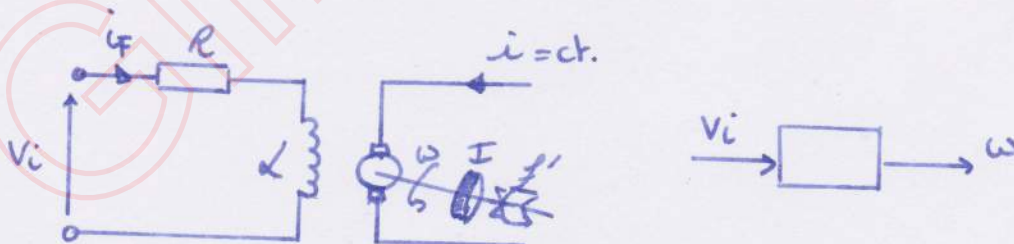
$$V_i = R i_F + L \frac{d i_F}{dt}$$

$$V_o = K i_F$$

$$\left. \begin{array}{l} V_i = R i_F + L \frac{d i_F}{dt} \\ V_o = K i_F \end{array} \right\} \rightarrow \frac{L}{K} \frac{d v_o}{dt} + \frac{R}{K} v_o = v_i$$

eerste orde systeem

Een belaste dc-motor



$$L \frac{d i_F}{dt} + R i_F = v_i$$

$$M = K i_F$$

$$M = J' \omega + I \frac{d \omega}{dt}$$

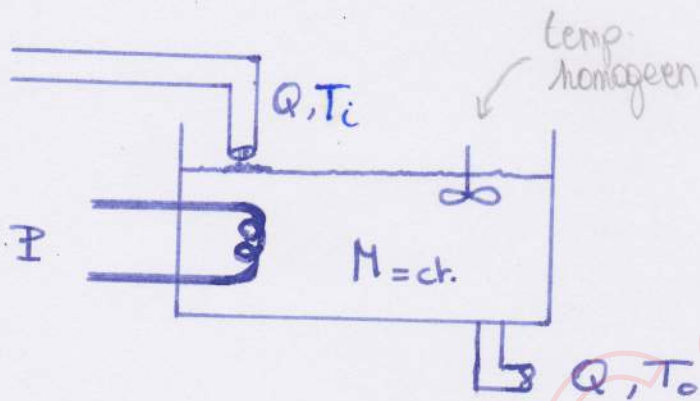


tweede orde systeem

$$\frac{d^2 \omega}{dt^2} + \left(\frac{J'}{I} + \frac{R}{L} \right) \frac{d \omega}{dt} + \frac{R J'}{L I} \omega = \frac{K}{L I} v_i$$

Eenvoudige L.T.O. processen

Een verwarmingsketel



by evenwicht:

$$\underbrace{P}_{\substack{\text{toegev.} \\ \text{warmte} \\ [J/s]}} = \underbrace{C_h}_{\substack{\text{massieke} \\ \text{warmte}}} \cdot \underbrace{Q}_{\substack{\text{debiet} \\ [kg/s]}} \cdot \underbrace{(T_o - T_i)}_{\substack{\text{temp.} \\ \text{verschil} \\ [K]}}$$

$$\rightarrow T_{oe} = T_{ie} + \frac{P}{C_h Q}$$

energiebalans in dt:

$$P dt = \underbrace{C_h Q (T_o - T_i) dt}_{\substack{\text{opwarmen} \\ \text{instromende} \\ \text{voestof}}} + \underbrace{C_h M dt}_{\substack{\text{opwarmen} \\ \text{vd ketel} \\ \text{in zijn geheel}}}$$

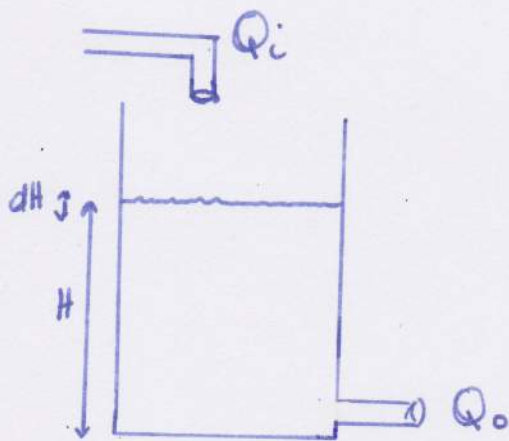
$$\rightarrow T_i = T_{ie} + t_i$$

$$T_o = T_{oe} + t_o$$

$$\Rightarrow P dt = C_h Q [(T_{oe} + t_o) - (T_{ie} + t_i)] dt + C_h M d(T_{oe} + t_o)$$

$$\Rightarrow \frac{M}{Q} \frac{dt_o}{dt} + t_o = t_i$$

Een vloeistoftank



$$Q_o = C\sqrt{H}$$

evenwicht: $Q_{ie} = Q_{oe} = C\sqrt{H_e}$

over kleine dt:

$$\underbrace{Q_i dt}_{\text{inkomend debiet}} = \underbrace{Q_o dt}_{\text{uitkomend debiet}} + \underbrace{A dh}_{\text{aan groei havelheid in tank}}$$

variaties tov evenw.:

$$Q_i = Q_{ie} + q_i$$

$$Q_o = Q_{oe} + q_o$$

$$H = H_e + h$$

$$\Rightarrow A \frac{dH}{dt} + q_o = q_i \quad (a)$$

verband $h \propto q_o$

nt-linear

$$Q_{oe} + q_o = C\sqrt{H_e + h}$$

Taylor

$$Q_o(H) = Q_o(H_e) + \left. \frac{dQ_o}{dH} \right|_{H_e} (H - H_e)$$

$$\underbrace{Q_o(H) - Q_o(H_e)}_{q_o} = \left. \frac{dQ_o}{dH} \right|_{H_e} (H - H_e)$$

$$q_o = \left. \frac{dQ_o}{dH} \right|_{H_e} h$$

$$q_o = \left. \frac{dQ_o}{dt} \right|_{He} \cdot h$$

$$\rightarrow q_o = \left. \frac{d(C\sqrt{H})}{dt} \right|_{He} \cdot h$$

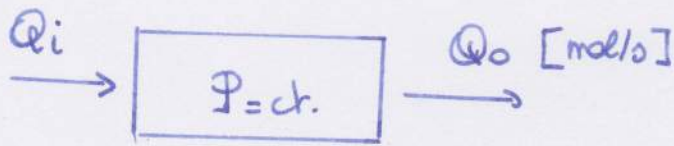
$$q_o = \frac{C}{2\sqrt{H_e}} \cdot h = \frac{C\sqrt{H_e}}{2H_e} \cdot h \xrightarrow{Q_{oe}}$$

$$q_o = \frac{Q_{oe}}{2H_e} \cdot h \quad \text{in (a)}$$

$$\Rightarrow \frac{2AH_e}{Q_{oe}} \frac{dq_o}{dt} + q_o = q_i$$

↖ eerste orde systeem

Een gasreservoir



$$Q_o = c \sqrt{P}$$

$$Q_{ie} = Q_{oe} = c \sqrt{P_e}$$

algemene
gaswet:

$$n_e = \frac{P_e V}{RT}$$

massabalans: $Q_i dt = Q_o dt + \underbrace{dn}_{\text{hoeveelheid gas in reservoir}}$

evenw.: $Q_i = Q_{ie} + q_i$

$$Q_o = Q_{oe} + q_o$$

$$P = P_e + p$$

$$n = n_e + m$$

$$\frac{dm}{dt} + q_o = q_i$$

verband p en m : $n_e + m = \frac{(P_e + p)V}{RT}$

$$n_e = \frac{P_e V}{RT}$$

$$m = \frac{n_e p}{P_e}$$

$$\frac{n_e}{P_e} \frac{dp}{dt} + q_o = q_i$$

verband p en q_o : $Q_{oe} + q_o = c \sqrt{P_e + p}$

Taylor ↓

$$p = \frac{2P_e}{Q_{oe}} q_o$$

$$\rightarrow \frac{2n_e}{Q_{oe}} \frac{dq_o}{dt} + q_o = q_i$$

eerste orde
systeem

Bestuit

eerste - orde systeem:

$$\tau \frac{dy(t)}{dt} + y(t) = K u(t)$$

τ tijdsconstante

K statische versterkingsfactor

tweede - orde systeem:

$$\frac{1}{\omega_n^2} \frac{d^2 y(t)}{dt^2} + \frac{2\zeta}{\omega_n} \frac{dy(t)}{dt} + y(t) = K u(t)$$

ω_n^2 eigen freq.

ζ dampingsgraad

K statische versterkingsfactor

Hoofdstuk 2

Studie van L.T.O systemen
in het
tijdsdomein

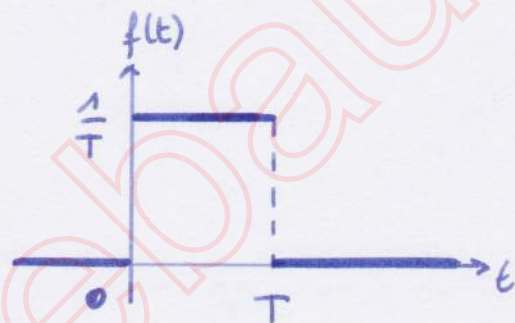
Samenvatting

Gilles Callebaut

Impulsresponsie

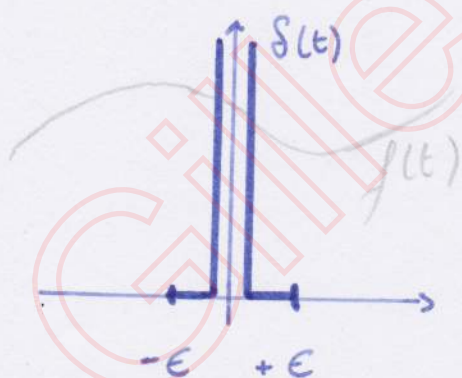
Impulsfunctie

Dirac functie: $\delta(t) = \lim_{T \rightarrow 0} f(t)$



$$\int_{-\epsilon}^{+\epsilon} \delta(t) dt = 1$$

↑ impulsfunctie met intensiteit 1



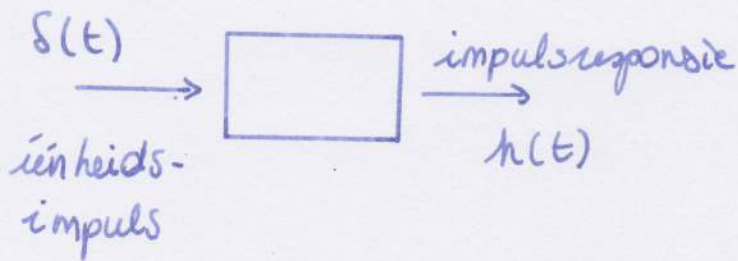
eigenschap: $\int_{-\epsilon}^{+\epsilon} f(t) \cdot \delta(t) dt = f(0)$

Dirac op tijdstip z :

$$\int_{z-\epsilon}^{z+\epsilon} \delta(t-z) dt = 1$$

$$\int_{z-\epsilon}^{z+\epsilon} f(t) \delta(t-z) dt = f(z)$$

De Impulsresponsie



eerste-orde systeem:

$$\tau \frac{dy}{dt} + y(t) = K u(t)$$

$h(t)$

$$u(t) = \delta(t)$$

impulsresponsie:

$$h(t) = 0 \quad t < 0$$

$$\tau \frac{dh}{dt} + h = 0 \quad t > 0$$

$$\tau [h(t)]_{-E}^{+E} + \int_{-E}^{+E} h(t) dt = K \int_{-E}^{+E} \delta(t) dt \quad \text{interval } [-E, +E]$$

$$\rightarrow \tau [h(+E) - h(-E)] + \int_{-E}^{+E} h(t) dt = K \int_{-E}^{+E} \delta(t) dt$$

\uparrow
 $= 0$
 want geen responsie

$\underbrace{\int_{-E}^{+E} h(t) dt}_{= 0}$
 want $\lim_{E \rightarrow 0}$

$\underbrace{\int_{-E}^{+E} \delta(t) dt}_{1}$
 $\lim_{E \rightarrow 0}$

$$\rightarrow h(0^+) = \frac{K}{\tau} \quad (\text{beginwaarde})$$

we weten:

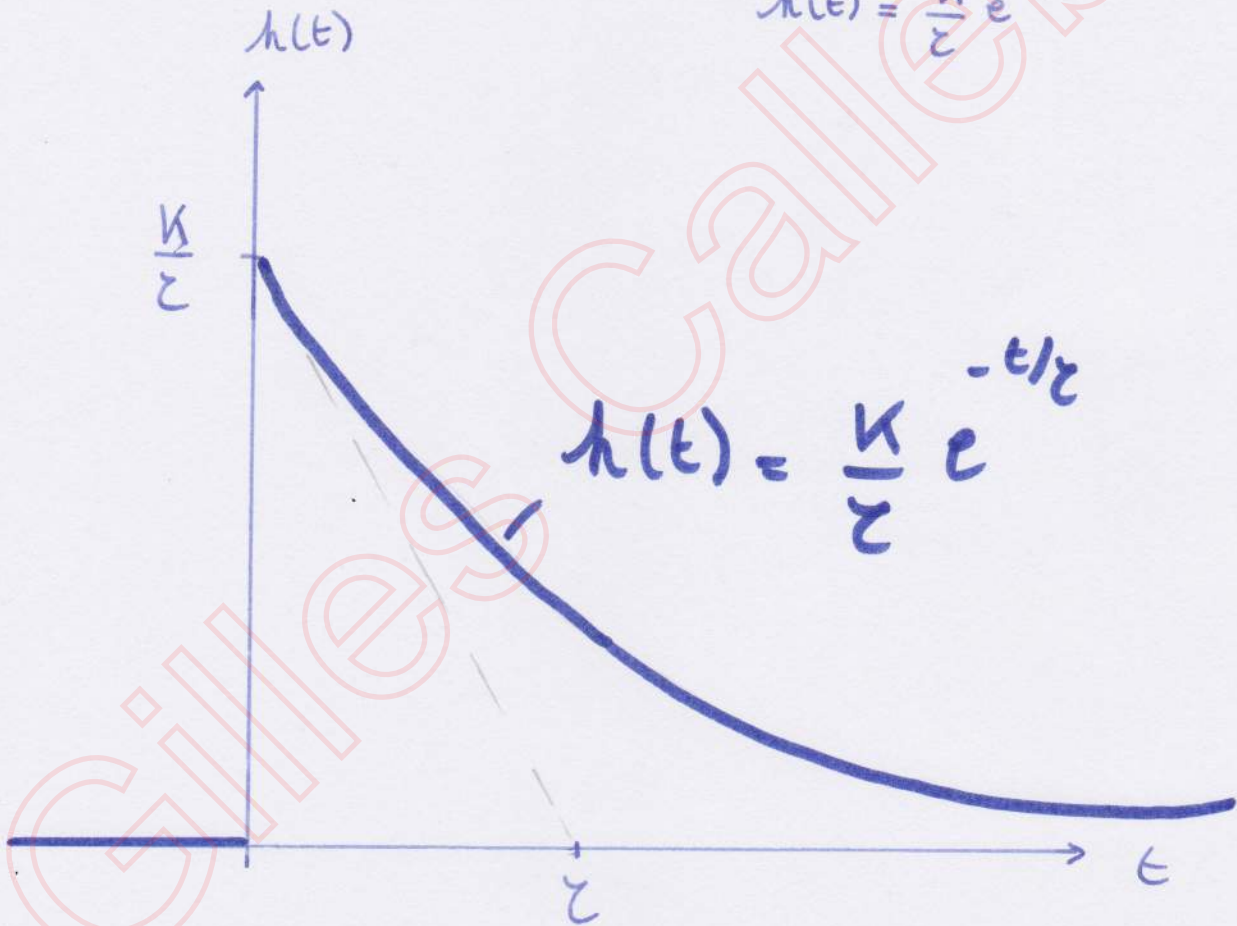
$$\zeta \frac{dh}{dt} + h = 0$$

met beginvw: $h(0^+) = \frac{K}{\zeta}$

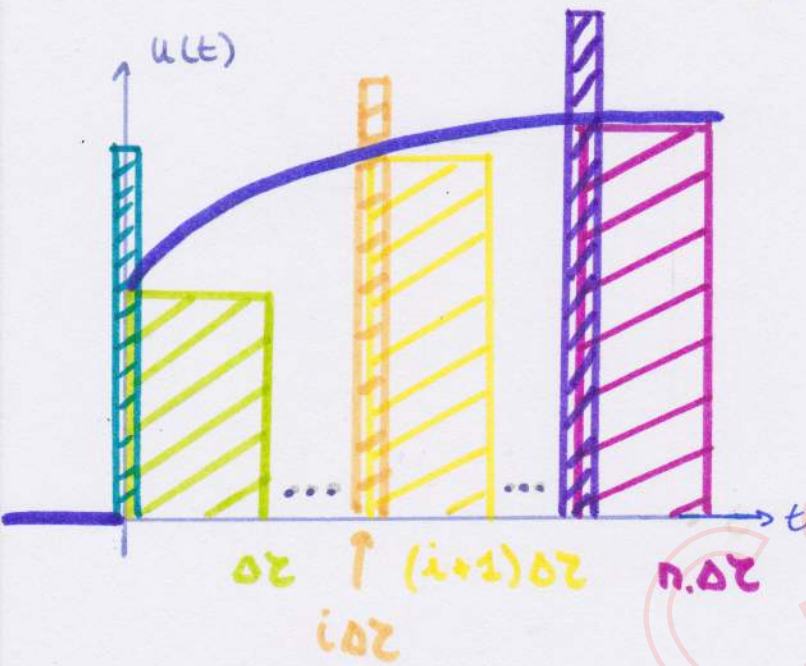
$$\rightarrow \zeta s + 1 = 0$$

$$\hookrightarrow s = -\frac{1}{\zeta} \rightarrow h(t) = A e^{-t/\zeta} \text{ met BVW}$$

$$h(t) = \frac{K}{\zeta} e^{-t/\zeta}$$



De responsie op een willekeurige ingang



$u(t)$ beschouwen als som van impulsfuncties.

$y(t)$ som v. alle responsies op de impulsfuncties.

opp interval: $u(i\Delta z) \cdot \Delta z$ $\xrightarrow{\text{begin}}$

$u(i\Delta z) \Delta z \delta(t - i\Delta z)$
eigensch. dirac.

impuls responsie:

$u(i\Delta z) \Delta z h(t - i\Delta z)$

ingang: $\sum_{i=0}^{n-1} u(i\Delta z) \Delta z \cdot \delta(t - z)$

uitgang: $\sum_{i=0}^{n-1} u(i\Delta z) \Delta z \cdot h(t - i\Delta z)$

$$\left(\begin{array}{l} t' = i\Delta z \\ \Delta z = \Delta z \end{array} \right.$$

$$\sum_{t'=0}^{t-\Delta z} u(t') h(t-t') \Delta z$$

$$\left(\Delta z \rightarrow dt' \right.$$

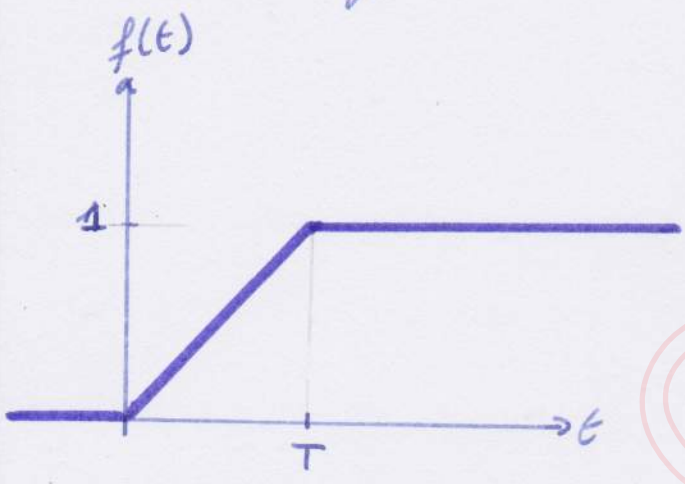
convolutie-integraal \rightarrow

$$y(t) = \int_0^t u(t') h(t-t') dt'$$

van de eerste staat

Stapresponsie

De stapfunctie

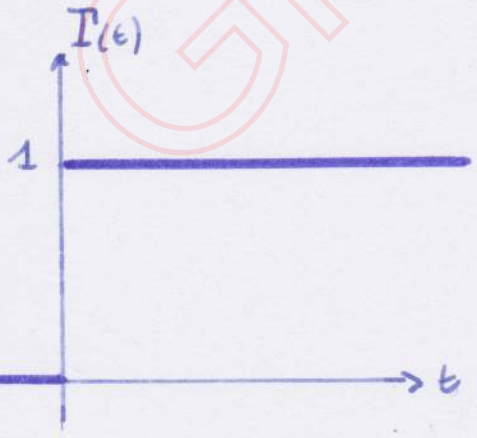


$$\begin{cases}
 f(t) = 0 & \text{voor } t < 0 \\
 f(t) = \frac{t}{T} & \text{voor } 0 \leq t \leq T \\
 f(t) = 1 & \text{voor } t > T
 \end{cases}$$

$$\rightarrow \begin{cases}
 \frac{df}{dt} = 0 & \text{voor } t < 0 \\
 \frac{df}{dt} = \frac{1}{T} & \text{voor } 0 \leq t \leq T \\
 \frac{df}{dt} = 0 & \text{voor } t > T
 \end{cases}$$

Heavyside:

$$\Gamma(t) = \lim_{T \rightarrow 0} f(t)$$



bij limietovergang:
 $f(t) \rightarrow \delta(t)$

$$\delta(t) = \frac{d\Gamma(t)}{dt}$$

$$\Gamma(t) = \int_{-\infty}^t \delta(t) dt$$

op tijdstip τ :

$$\Gamma(t-\tau) = 0 \quad \text{voor } t < \tau$$

$$\Gamma(t-\tau) = 1 \quad \text{voor } t \geq \tau$$

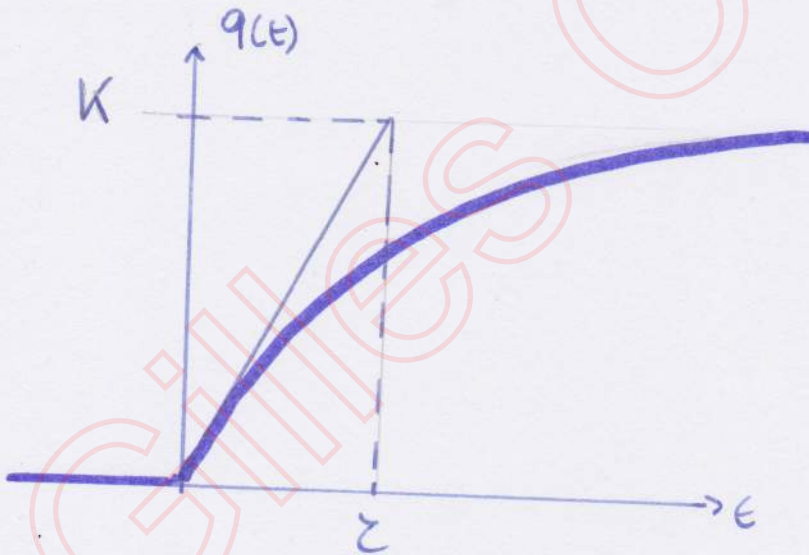
De stapresponsie

van de eerste
soort

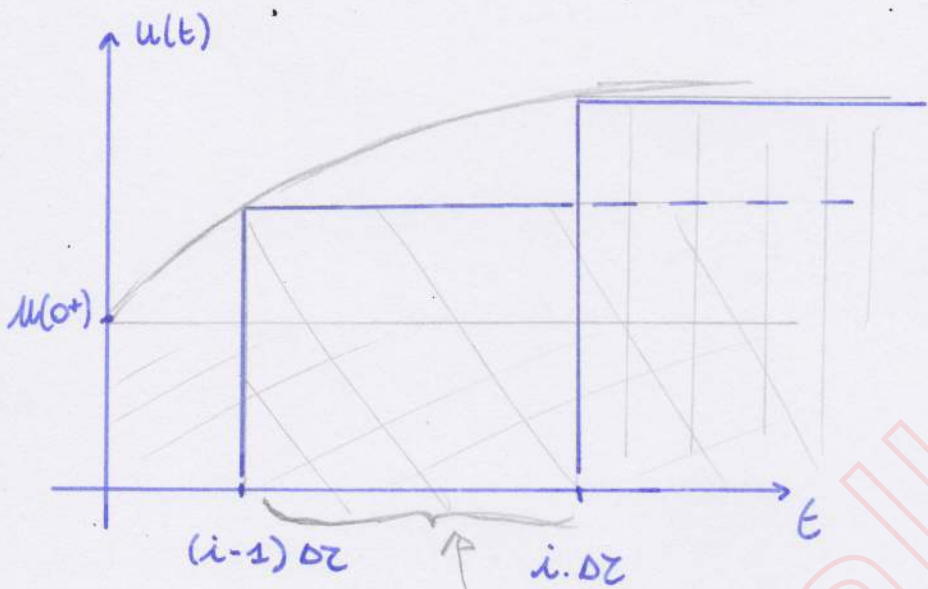
convolutie-integraal : $r(t) * h(t)$

$$\rightarrow q(t) = \int_0^t 1 \cdot \frac{K}{\tau} e^{-t'/\tau} dt' = \left(\frac{K}{\tau} - \tau \right) \left[e^{-t'/\tau} \right]_0^t$$

$$q(t) = K(1 - e^{-t/\tau})$$



de convolutie-integraal van tweede soort



stapfunctie: $[u(i \cdot \Delta z) - u((i-1) \cdot \Delta z)] \cdot \Gamma(t - i \Delta z)$
 in het interval

↓
 responsie: $[u(i \Delta z) - u((i-1) \Delta z)] \cdot g(t - i \Delta z)$

ingang $u(t)$: $u(0+) \Gamma(t) + \sum_{i=0}^n [u(i \Delta z) - u((i-1) \Delta z)] \cdot \Gamma(t - i \Delta z)$
 ↓

responsie: $u(0+) g(t) + \sum_{i=0}^n [u(i \Delta z) - u((i-1) \Delta z)] \cdot g(t - i \Delta z)$

met $t' = i \Delta z$ is $dt' = \Delta z$
 en $\Delta z \rightarrow dt'$

$$\Rightarrow y(t) = u(0+) \cdot g(t) + \int_0^t \frac{du(t')}{dt'} g(t-t') dt'$$

Harmonische response

Harmonische functies

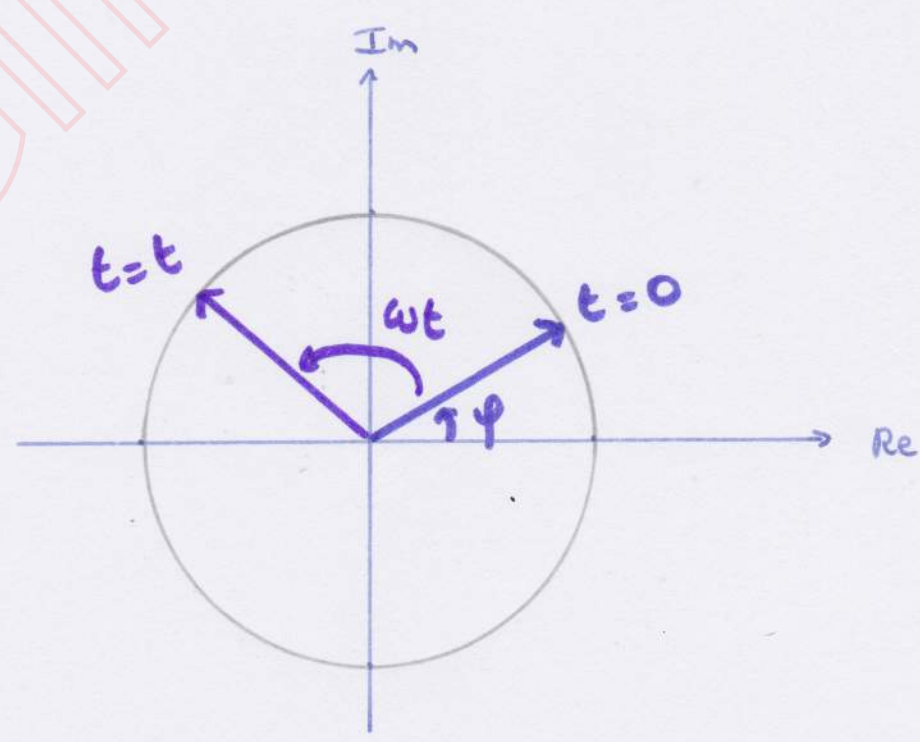
$$F \cos(\omega t + \varphi)$$

amplitude \swarrow pulsatie [rad/s] \searrow fase [rad] \nearrow C.V. $\rightarrow \overline{F} = F e^{j\varphi}$ \swarrow modulus \searrow argument

$$e^{j\varphi} = \cos \varphi + j \sin \varphi$$
$$\tilde{f}(t) = F \cos(\omega t + \varphi) + j F \sin(\omega t + \varphi)$$

afleiden: $\overline{F} \cdot j\omega$ integreren: $\overline{F} \cdot \frac{1}{j\omega}$

$$= F e^{j(\omega t + \varphi)} = F e^{j\varphi} e^{j\omega t} = \overline{F} \cdot e^{j\omega t}$$



een complexe harmonische functie $\tilde{f}(t)$ in complex vlak

De harmonische responsie

$$u(t) = U \cos(\omega t + \alpha) \rightarrow y(t) = Y \cos(\omega t + \beta)$$

$$\bar{U} = U e^{j\alpha}$$

$$\bar{Y} = Y e^{j\beta}$$

harmonische responsie = P.O. vd diff. verg:

$$B_n \frac{d^2 y}{dt^2} + \dots + B_0 y = A_m \frac{d^m u}{dt^m} + \dots + A_0 u$$

↓ c.v.

$$B_n (j\omega)^n \bar{Y} + \dots + B_0 \bar{Y} = A_m (j\omega)^m \bar{U} + \dots + A_0 \bar{U}$$

$$\Rightarrow \bar{Y} = H(j\omega) \bar{U} \quad \text{met} \quad H(j\omega) = \frac{A_m (j\omega)^m + \dots + A_0}{B_n (j\omega)^n + \dots + B_0}$$

↑
complexe overdrachtsfunctie
of
complexe transferfunctie

$$\left\{ \begin{array}{l} Y = |H(j\omega)| U \\ \arg \bar{Y} = \arg H(j\omega) + \arg \bar{U} \\ \beta = \arg H(j\omega) + \alpha \end{array} \right.$$

phaseverandering
van
uitgang op ingang

Complexe overdrachtfunctie

1^{ste} orde:

$$\sum \frac{dy}{dt} + y = k \cdot u$$

$$\rightarrow H(j\omega) = \frac{k}{1 + j\omega z}$$

2^{de} orde:

$$\frac{1}{\omega_n^2} \frac{d^2 y}{dt^2} + \frac{2z}{\omega_n} \frac{dy}{dt} + y = k \cdot u$$

$$\rightarrow H(j\omega) = \frac{k}{\left(\frac{j\omega}{\omega_n}\right)^2 + 2z \frac{j\omega}{\omega_n} + 1}$$

De responsie op een willekeurig ingangssignaal

periodiek ingangssignaal \rightarrow Fourierreeksontwikkeling

$$u(t) = u_0 + \sum_{k=1}^{\infty} U_k \cos(k\omega t + \alpha_k)$$

\rightarrow responsie: $\bar{Y}_k = H(jk\omega) \bar{U}_k$

$Y_k e^{j\beta_k} \rightarrow y(t) = y_0 + \sum_{k=1}^{\infty} Y_k \cos(k\omega t + \beta_k)$

niet-periodiek ingangssignaal

$$\rightarrow u(t) = \frac{1}{2\pi} \int_{-\infty}^{+\infty} U(j\omega) e^{j\omega t} d\omega$$

met $U(j\omega) = \int_{-\infty}^{+\infty} u(t) e^{-j\omega t} dt$

\rightarrow responsie:

$$y(t) = \frac{1}{2\pi} \int_{-\infty}^{+\infty} H(j\omega) U(j\omega) e^{j\omega t} d\omega$$

$$Y(j\omega) = H(j\omega) U(j\omega)$$

De grafische voorstelling van complexe overdrachtfunctie

De Bode-diagramma's

Amplitude karakteristiek

$$|H(j\omega)|_{dB} = 20 \log |H(j\omega)|$$

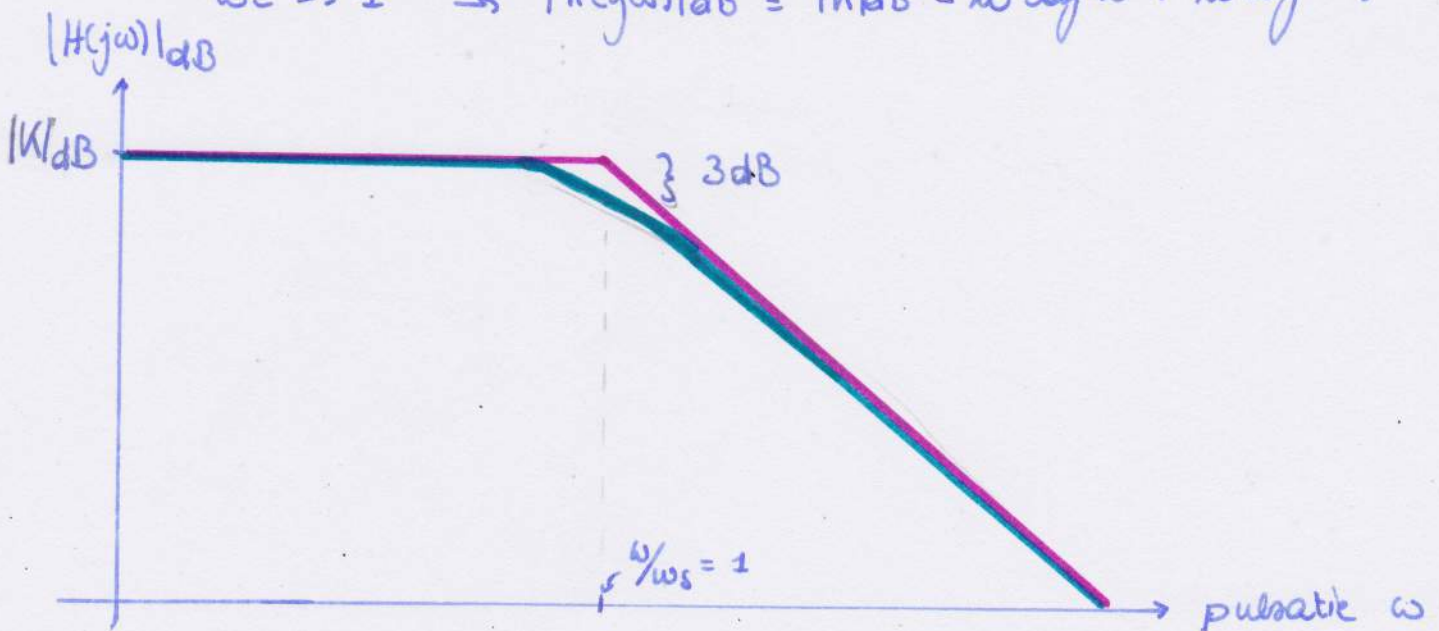
1^{ste} orde: $H(j\omega) = \frac{K}{1+j\omega\tau}$

modulus: $|H(j\omega)|_{dB} = 20 \log K - 20 \log \sqrt{1 + \omega^2 \tau^2}$
($\omega_s = \frac{1}{\tau}$ kritische freq.)
 $= 20 \log K - 20 \log \sqrt{1 + \frac{\omega^2}{\omega_s^2}}$

$\omega\tau \ll 1 \rightarrow |H(j\omega)|_{dB} = |K|_{dB}$

$\omega\tau = 1 \rightarrow |H(j\omega)|_{dB} = |K|_{dB} - 3$

$\omega\tau \gg 1 \rightarrow |H(j\omega)|_{dB} = |K|_{dB} - 20 \log \omega + 20 \log \omega_s$



fase karakteristiek:

1ste orde: $\frac{k}{1+j\omega z}$

argument: $\arg H(j\omega) = -\arg(1+j\omega z)$ met

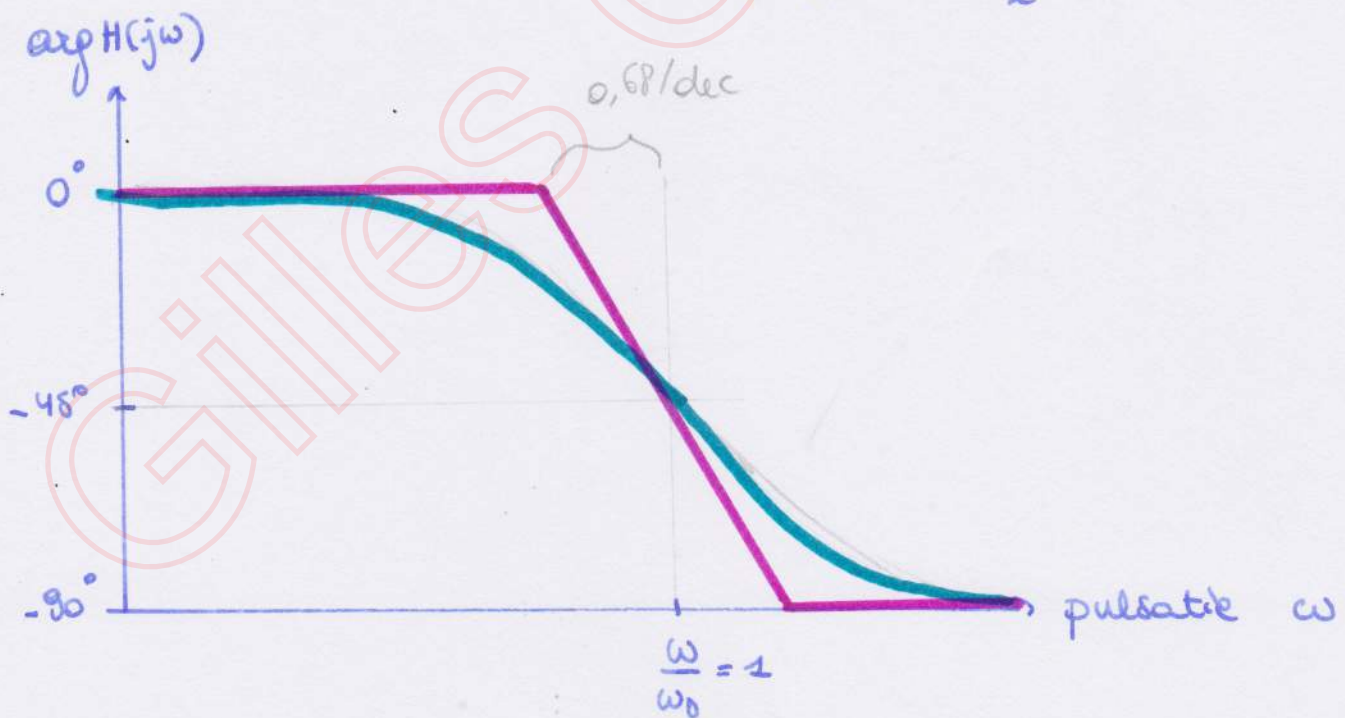
$k > 0: \arg = 0$

$k < 0: \arg = \pi$

$\omega z \ll 1: \arg H = 0$

$\omega z = 1: \arg H = -\arg(1+j) = -\frac{\pi}{4} \quad (-45^\circ)$

$\omega z \gg 1: \arg H = -\arg(j\omega z) = -\frac{\pi}{2} \quad (-90^\circ)$



voor een 2^{de} orde systeem:

$$H(j\omega) = \frac{K}{\left(\frac{j\omega}{\omega_n}\right)^2 + 2z \frac{j\omega}{\omega_n} + 1} = \frac{K}{\left[1 - \left(\frac{\omega}{\omega_n}\right)^2\right] + j\left(2z \frac{\omega}{\omega_n}\right)}$$

$$|H(j\omega)|_{dB} = 20 \log K - 20 \log \sqrt{\left[1 - \left(\frac{\omega}{\omega_n}\right)^2\right]^2 + \left(2z \frac{\omega}{\omega_n}\right)^2}$$

$$\frac{\omega}{\omega_n} \ll 1 \rightarrow |H(j\omega)|_{dB} = 0 \quad \text{met } K=1$$

$$\frac{\omega}{\omega_n} \gg 1 \rightarrow |H(j\omega)|_{dB} = -20 \log \left(\left(\frac{\omega}{\omega_n}\right)^4\right) = -40 \log\left(\frac{\omega}{\omega_n}\right)$$

maximum bij: $\frac{d}{du} |H(j\omega)| = 0$

$$2(1-u^2)(-2u) + (2z)^2 2u = 0$$

$$\hookrightarrow u[u^2 + 2z^2 - 1] = 0$$

$$u = 0$$

$$u = \sqrt{1 - 2z^2}$$

met VW: $1 - 2z^2 > 0$

$$z < \frac{1}{\sqrt{2}} \approx 0,707$$

$$\rightarrow \omega_R = \omega_n \sqrt{1 - 2z^2}$$

$$\rightarrow Q = \frac{1}{2z \sqrt{1 - z^2}}$$

maximale amplitude-
verhouding

$$Q = |H(j\omega)|_{\omega = \omega_R}$$

fig 2.21
p 51

$$\arg H(j\omega) = -\arg [(1-u^2) + j(2zu)]$$

$$u = 1 : \arg H = -\arg(j2z) = -\frac{\pi}{2}$$

$$u \ll 1 : \arg H = -\arg(1) = 0$$

$$u \gg 1 : \arg H = -\arg [(1-u^2) + j(2zu)] = -\pi$$

↑
bepaald door u^2

fig 2.22 en fig 2.23 p52

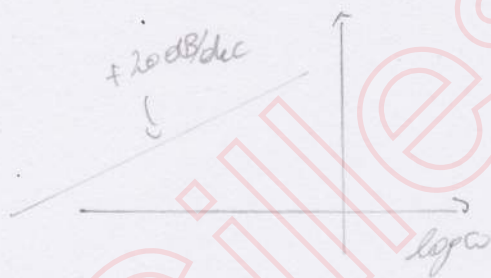
Algemeen

$$H(j\omega) = \frac{A_m (j\omega)^m + \dots + A_0}{B_n (j\omega)^n + \dots + B_0}$$

voor lage frequenties:

• $A_0 \neq 0$
 $B_0 \neq 0$ } $\rightarrow H(j\omega) = \frac{A_0}{B_0}$

• $B_0 \neq 0$
 $A_{k-1}, \dots, A_0 = 0$ } $\rightarrow H(j\omega) = \frac{A_k}{B_0} (j\omega)^k$

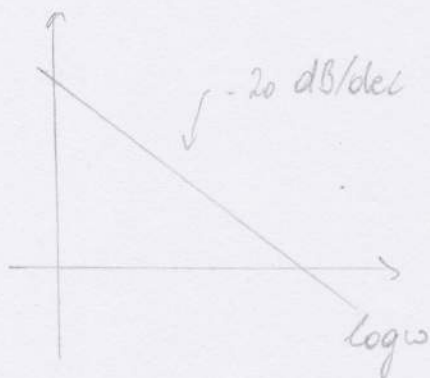


Modulus: $|H(j\omega)| \rightarrow 0$

ampl. kar. $k(+20) \text{ dB/dec}$

Argument: $\arg H(j\omega) = \arg \frac{A_k}{B_0} + k \frac{\pi}{2}$

• $A_0 \neq 0$
 $B_{k-1}, \dots, B_k = 0$ } $\rightarrow H(j\omega) = \frac{A_0}{B_k} \frac{1}{(j\omega)^k}$



Modulus: $|H(j\omega)|$ vanuit ∞

ampl. kar. $k(-20) \text{ dB/dec}$

Argument: $\arg H(j\omega) = \arg \frac{A_0}{B_k} + k \left(-\frac{\pi}{2}\right)$

voor hoge frequenties:

$$H(j\omega) = \frac{A_m}{B_n} \frac{1}{(j\omega)^{n-m}}$$

• $n > m \rightarrow |H(j\omega)| \rightarrow 0$

helling $(n-m)(-20 \text{ dB/dec})$

$$\arg H(j\omega) \rightarrow (n-m)\left(-\frac{\pi}{2}\right)$$

• $n = m \rightarrow H(j\omega) = \frac{A_m}{B_n}$

• $n < m \rightarrow$ fysische/werkelijkheid

↳ ingang steeds sneller

↳ uitgang \bar{n} s meer kan volgen.

Opsplitsen transferfuncties:

$$H(j\omega) = H_1(j\omega) \cdot H_2(j\omega)$$

$$|H(j\omega)|_{dB} = |H_1(j\omega)|_{dB} + |H_2(j\omega)|_{dB}$$

$$\arg H = \arg H_1 + \arg H_2$$

zoeken id vorm van

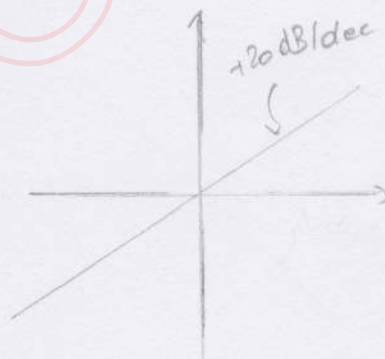
$$1 + j\omega\tau$$

of

$$1 + \frac{\tau z}{\omega_n} (j\omega) + \frac{1}{\omega_n^2} (j\omega)^2$$

factoren tegenkomen.

$\frac{1}{j\omega} \rightarrow$ integratiefactor



$j\omega \rightarrow$ differentiatiefactor



$|K|_{dB} \rightarrow$ verschuiving
amplitude grafiek

$K < 0 \rightarrow$ faseverschuiving π

Het Nyquist-diagramma

↳ $H(j\omega)$ invullen $\begin{matrix} \text{Im} \\ \uparrow \\ \text{Re} \end{matrix}$ met $\omega \rightarrow 0 \rightarrow \infty$
complex vlak

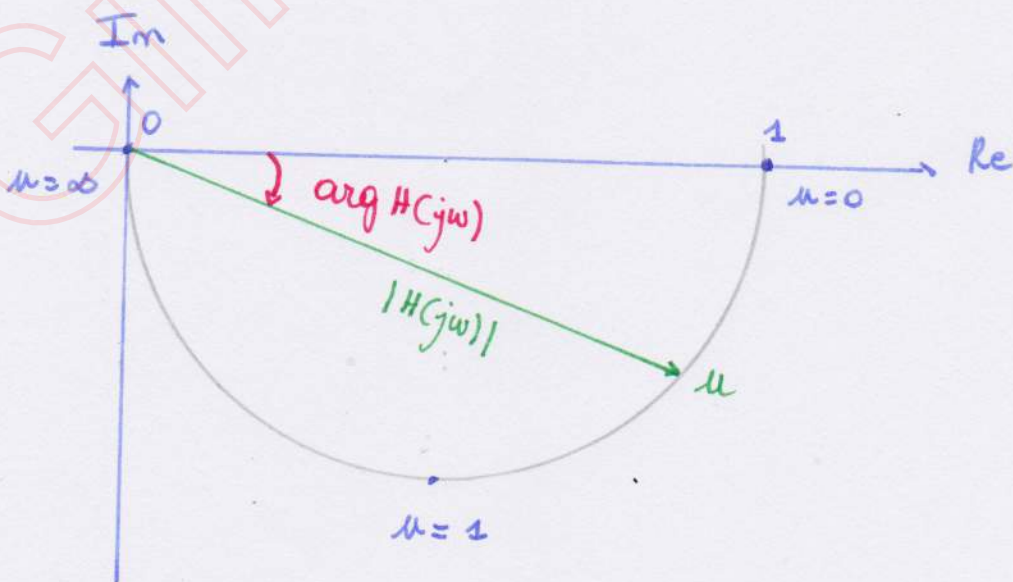
1^{ste} orde

$$H(j\omega) = \frac{1}{1 + j\omega}$$

$\rightarrow \text{Re} = \frac{1}{1 + \omega^2}$
 $\rightarrow \text{Im} = \frac{-\omega}{1 + \omega^2}$

$$\text{Re}^2 + \text{Im}^2 = \left(\frac{1}{\sqrt{1 + \omega^2}} \right)^2 \rightarrow \frac{1}{1 + \omega^2} = \text{Re}^2 + \text{Im}^2$$

$$\Rightarrow \left(\text{Re} - \frac{1}{2} \right)^2 + \text{Im}^2 = \left(\frac{1}{2} \right)^2$$



2^{de} orde:

$$H(j\omega) = \frac{1}{1 + 2zj\omega + (j\omega)^2} = \frac{1}{(1 - \omega^2) + j2z\omega}$$

$$Re = \frac{1 - \omega^2}{(1 - \omega^2)^2 + 4z^2\omega^2}$$

$$Im = \frac{-2z\omega}{(1 - \omega^2)^2 + 4z^2\omega^2}$$

$$\omega = 0 \rightarrow Re = 1 \quad Im = 0$$

$$\omega = 1 \rightarrow Re = 1 \quad Im = -\frac{1}{2z}$$

$$\omega = \infty \rightarrow Re = 0 \quad Im = 0$$

• De Nyquist-krommen voor $z > 0,7$

↳ binnen $|H(j\omega)| = 1$

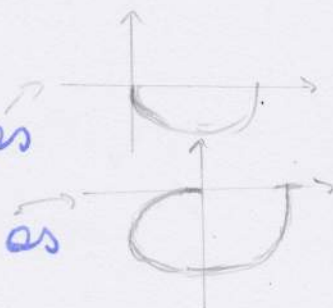
voor $z < 0,7$

↳ resonantie

→ kleine freq. → loodrecht op Re-as.

→ hoge freq. → 1^{ste} orde: raken neg. Im as

→ 2^{de} orde: raken neg. Re as



Algemeen

$$H(j\omega) = \frac{A_m(j\omega)^m + \dots + A_0}{B_n(j\omega)^n + \dots + B_0}$$

hoge frequenties:

$$\rightarrow H(j\omega) = \frac{A_m}{B_n} \frac{1}{(j\omega)^{n-m}}$$

stel $n > m$

$$|H(j\omega)| \rightarrow 0$$

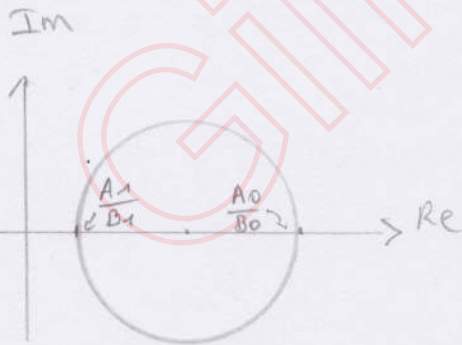
$$\arg H(j\omega) = (n-m) \left(-\frac{\pi}{2}\right)$$

lage frequenties:

$$\begin{cases} A_0 \neq 0 \\ B_0 \neq 0 \end{cases}$$

$$\rightarrow H(j\omega) = \frac{A_0}{B_0} = K$$

↳ loodrecht vertrekken in K op reële as



zelfde verloop als

$$H(j\omega) = \frac{A_1(j\omega) + A_0}{B_1(j\omega) + B_0}$$

$$\rightarrow M \left(\frac{1}{2} \left(\frac{A_0}{B_0} + \frac{A_1}{B_1} \right); 0 \right)$$

$$R = \frac{1}{2} \left| \frac{A_0}{B_0} + \frac{A_1}{B_1} \right|$$

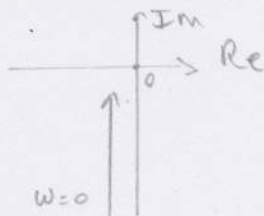
• noemer: $j\omega$ voorop (int.)

• teller: $j\omega$ voorop (diff.)

$$H(j\omega) = -j \frac{A_0}{B_0} \lim_{\omega \rightarrow 0} \frac{1}{\omega}$$

$$|H| \rightarrow \infty$$

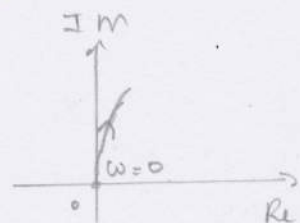
$$\arg H \rightarrow -\frac{\pi}{2}$$



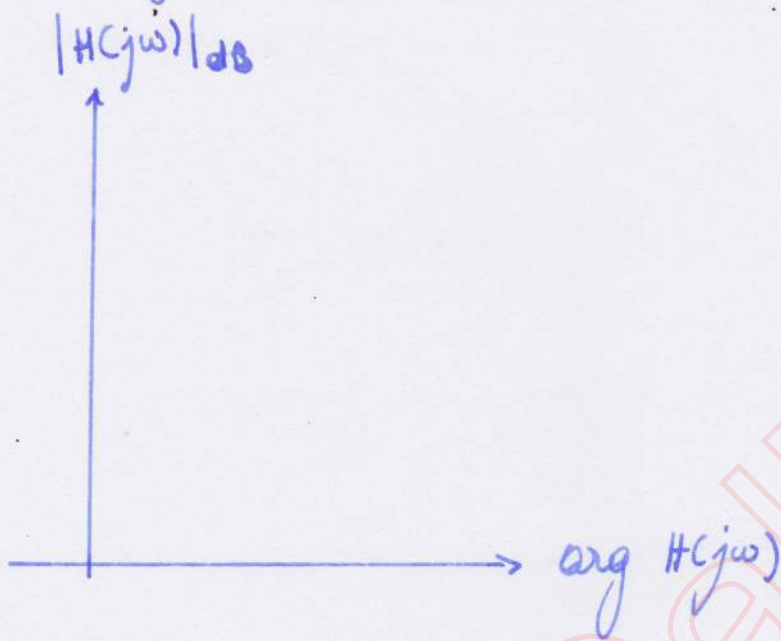
$$H(j\omega) = j \frac{A_0}{B_0} \lim_{\omega \rightarrow 0} \omega$$

$$|H| \rightarrow 0$$

$$\arg H \rightarrow \frac{\pi}{2}$$



Het diagramma van Black



met $\omega \quad 0 \rightarrow \infty$

Hoofdstuk 3

De Laplace - transformatie

gilles callebaut

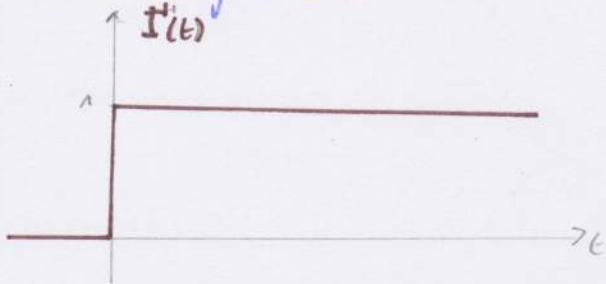
Definitie

$$F(s) = \int_0^{\infty} f(t) e^{-st} dt$$

$$F(s) = \mathcal{L}\{f(t)\}$$

Laplace-getransformeerden van enkele eenvoudige functies

de stapfunctie



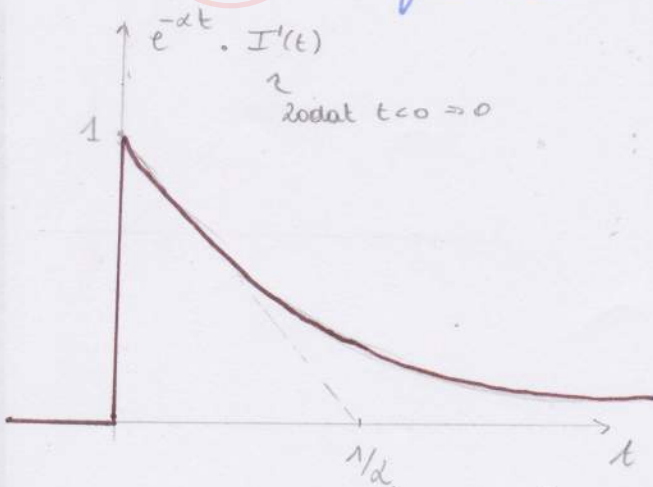
$$\mathcal{L}\{I'(t)\} = \int_0^{\infty} 1 \cdot e^{-st} dt = \left. \frac{e^{-st}}{-s} \right|_0^{\infty}$$

$$\mathcal{L}\{I'(t)\} = \frac{1}{s}$$

de impulsfunctie

$$\mathcal{L}\{\delta(t)\} = 1$$

de exponentiële functie



$$\begin{aligned} \mathcal{L}\{e^{-\alpha t}\} &= \int_0^{\infty} e^{-\alpha t} \cdot e^{-st} dt \\ &= \int_0^{\infty} e^{-(s+\alpha)t} dt \\ &= \left. \frac{e^{-(s+\alpha)t}}{-(s+\alpha)} \right|_0^{\infty} \end{aligned}$$

$$\mathcal{L}\{e^{-\alpha t}\} = \frac{1}{s+\alpha}$$

Eigenschaften

linearität

$$\text{Indien } F(s)_i \leftrightarrow f(t)_i \begin{cases} k F(s) \leftrightarrow k f(t) \\ F_1(s) + F_2(s) \leftrightarrow f_1(t) + f_2(t) \end{cases}$$

$$\Rightarrow \mathcal{L}\{1 - e^{-\alpha t}\} = \frac{1}{s} - \frac{1}{s + \alpha}$$

$$\mathcal{L}\{1 - e^{-\alpha t}\} = \frac{\alpha}{s(s + \alpha)}$$

$$\mathcal{L}\{1 - e^{-\frac{t}{\tau}}\} = \frac{1}{s} - \frac{1}{s + \frac{1}{\tau}}$$

$$\mathcal{L}\{1 - e^{-t/\tau}\} = \frac{1}{s \cdot (s + \frac{1}{\tau})}$$

$$\mathcal{L}\{\sin \omega t\} = \mathcal{L}\left\{\frac{e^{j\omega t} - e^{-j\omega t}}{2j}\right\}$$

$$\mathcal{L}\{\sin \omega t\} = \frac{\omega}{s^2 + \omega^2}$$

$$\mathcal{L}\{\cos \omega t\} = \mathcal{L}\left\{\frac{e^{j\omega t} + e^{-j\omega t}}{2}\right\}$$

$$\mathcal{L}\{\cos \omega t\} = \frac{s}{s^2 + \omega^2}$$

$$\mathcal{L}\{\sin \omega t\} = \frac{1}{2j} \left[\frac{1}{s - j\omega} - \frac{1}{s + j\omega} \right] = \frac{\omega}{s^2 + \omega^2}$$

de Afgeleide

$$\mathcal{L}\left\{\frac{df(t)}{dt}\right\} = sF(s) - f(0^+)$$

$$\begin{aligned}\mathcal{L}\left\{\frac{df(t)}{dt}\right\} &= \int_0^{\infty} \frac{df(t)}{dt} e^{-st} dt \\ &= \int_0^{\infty} e^{-st} df(t) \\ &= f(t)e^{-st} \Big|_0^{\infty} - \int_0^{\infty} f(t) \cdot \frac{d(e^{-st})}{dt} \\ &= -f(0) + s \underbrace{\int_0^{\infty} f(t) e^{-st} dt}_{F(s)}\end{aligned}$$

⇓

$$\frac{d^2 f(t)}{dt^2} \leftrightarrow s^2 F(s) - sf(0^+) - \frac{df(0^+)}{dt}$$

want

$$\mathcal{L}\{f''\} = \mathcal{L}\{f'\} - f'(0^+)$$

de Integraal

$$\mathcal{L}\left\{\int_0^t f(t) dt\right\} = \frac{\mathcal{L}\{f(t)\}}{s}$$

$$\begin{aligned}\mathcal{L}\left\{\int_0^t f(t) dt\right\} &= \int_0^{\infty} \int_0^t f(t) dt \cdot e^{-st} dt \\ &= \int_0^{\infty} \int_0^t f(t) dt \cdot \frac{d(e^{-st})}{-s} \\ &\quad \downarrow \text{P.I.} \\ &= \underbrace{\int_0^t f(t) dt \cdot \frac{e^{-st}}{-s} \Big|_0^{\infty}}_{-\frac{1}{s} [0-0]} + \underbrace{\int_0^{\infty} \frac{e^{-st}}{s} \cdot f(t) dt}_{\frac{1}{s} \mathcal{L}\{f(t)\}}\end{aligned}$$

via de integraal eigenschap:

$$t = \int_0^t I'(t) dt \Rightarrow d \left\{ t \cdot I(t) \right\} = \frac{1}{s} \left(\frac{1}{s} \right)$$

$$t = \frac{1}{2} \frac{d(t^2)}{dt} \Rightarrow d \left\{ 2 \int_0^t \int_0^t I'(t) dt \right\} = d \left\{ 2 \int_0^t t \cdot I'(t) dt \right\} \\ = 2 \frac{1}{s} \frac{1}{s^2}$$

\Rightarrow algemeen:

$$d \left\{ t^n I'(t) \right\} = \frac{n!}{s^{n+1}}$$

beginwaardestelling

$$F(s) \llcorner f(t) \rightarrow f(0^+) = \lim_{t \rightarrow 0} f(t) = \lim_{s \rightarrow \infty} sF(s)^*$$

eindwaardestelling

$$F(s) \llcorner f(t) \rightarrow f(\infty) = \lim_{t \rightarrow \infty} f(t) = \lim_{s \rightarrow 0} sF(s)^{**}$$

$$* \lim_{s \rightarrow \infty} \left[\int_0^{\infty} \frac{df}{dt} \cdot \frac{e^{-st}}{s} dt \right] \Rightarrow \lim_{s \rightarrow \infty} (sF(s) - f(0^+)) = 0$$

$$** \lim_{s \rightarrow 0} \left[\int_0^{\infty} \frac{df}{dt} \cdot \frac{e^{-st}}{s} dt \right] \Rightarrow \lim_{t \rightarrow \infty} \int_0^{\infty} df(t) = \lim_{s \rightarrow 0} (sF(s) - f(0^+)) \\ \circ f(\infty) - f(0^+) = \rightarrow$$

Translatie in het s-domein

$$F(s) [f(t)] \rightarrow F(s+\alpha) [e^{-\alpha t} f(t)]$$

$$\begin{aligned} \mathcal{L}\{e^{-\alpha t} f(t)\} &= \int_0^{\infty} e^{-\alpha t} f(t) \cdot e^{-st} dt \\ &= \int_0^{\infty} f(t) e^{-(s+\alpha)t} dt \\ &= F(s') \end{aligned}$$

$$\mathcal{L}\{e^{-\alpha t} f(t)\} = F(s+\alpha)$$

Vermenigvuldigen met t

$$\begin{aligned} \mathcal{L}\{t \cdot f(t)\} &= \int_0^{\infty} t \cdot f(t) \cdot e^{-st} dt \\ &= \int_0^{\infty} f(t) \cdot \left(-\frac{d(e^{-st})}{ds}\right) dt \\ &= -\frac{d}{ds} \left[\int_0^{\infty} f(t) \cdot e^{-st} dt \right] \end{aligned}$$

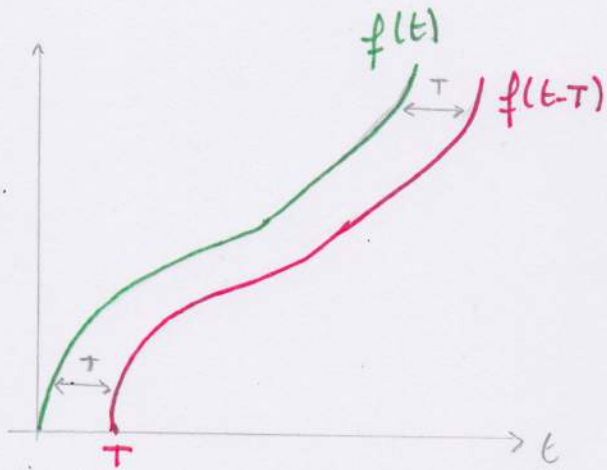
$$\mathcal{L}\{t \cdot f(t)\} = -\frac{d}{ds} F(s)$$

gelijkvormigheidswet

$$\begin{aligned} \mathcal{L}\left\{f\left(\frac{t}{k}\right)\right\} &= \int_0^{\infty} f\left(\frac{t}{k}\right) \cdot e^{-st} dt \\ &= k \cdot \int_0^{\infty} f(t') \cdot e^{-s' t'} dt' = k F(s') \end{aligned}$$

$$\mathcal{L}\left\{f\left(\frac{t}{k}\right)\right\} = k \cdot F(k \cdot s)$$

Verschuivingswet (in tijdsdomein)



$$F(s) [f(t) \cdot I(t)]$$

$$\mathcal{L}\{f(t-T)\} = e^{-sT} F(s)$$

$$\begin{aligned} \mathcal{L}\{f(t-T) I(t-T)\} &= \int_0^{\infty} f(t') I(t') e^{-s(t'+T)} dt' \\ &= e^{-sT} \int_0^{\infty} f(t') e^{-st'} dt' \end{aligned}$$

$$\begin{aligned} t' &= t - T \\ dt' &= dt \\ t'=0 &\rightarrow t=T \\ t'=\infty &\rightarrow t=\infty \end{aligned}$$

Convolutiestelling

$$y(t) = f(t) * g(t) \quad \leftarrow \text{convolutie}$$

convolutie-
stelling

$$\Rightarrow y(t) = \int_0^t f(z) \cdot g(t-z) dz = \int_0^t f(t-z) g(z) dz$$

$$G(s) \cdot F(s) = G(s) \cdot \int_0^{\infty} f(z) e^{-sz} dz$$

$$= \int_0^{\infty} f(z) \underbrace{G(s) e^{-sz}}_{\int_0^{\infty} g(t-z) e^{-st} dt} dz \quad \leftarrow \text{zie verschuivingswet}$$

$$= \int_0^{\infty} \underbrace{\int_0^{\infty} f(z) g(t-z) dz}_{y(t)} \cdot e^{-st} dt$$

$$\mathcal{L}\{g(t) * f(t)\} = G(s) \cdot F(s)$$

De Inverse Laplace-transformatie ← oef. !

vd vorm $F(s) = \frac{T(s)}{N(s)}$

→ splitsen in particeelbreuken:

vd vorm $\frac{k_1}{s-p} + \frac{k_2}{(s-p)^2} + \frac{k_3}{(s-p)^3} + \dots$

↙ voor
meervoudige
wortel

algemeen: $\frac{k_1}{s-p_1} + \frac{k_2}{s-p_2} + \frac{k_3}{s-p_3} + \dots$

↑
polen

vb. zie p71.

andere manier:

↙ enkel voor
enkelvoudige
polen!

→ bepalen vd residu's

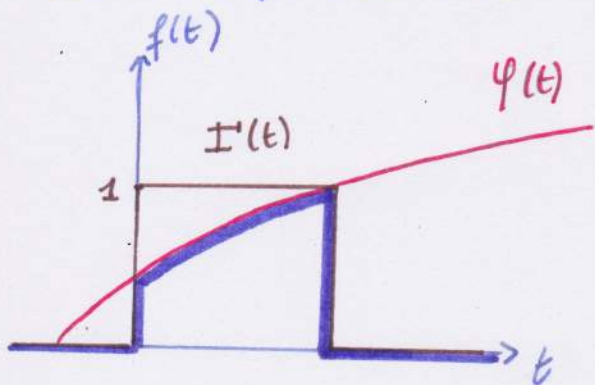
$$k = F(s)(s-p) \Big|_{s=p}$$

opmerking:

$$\frac{k_1 \cdot s + k_2}{(\dots s^2 + \dots s + \dots)} \quad \begin{array}{l} \checkmark \text{ eerste graad} \\ \leftarrow \text{ 2de graad} \end{array}$$

Toepassingen

toepassingen op de verschuivingswet



$f \neq 0$ (0, T)
de rest $f(t) = 0$

$$f(t) = \mathcal{L}(t) [I(t) - I(t-T)]$$

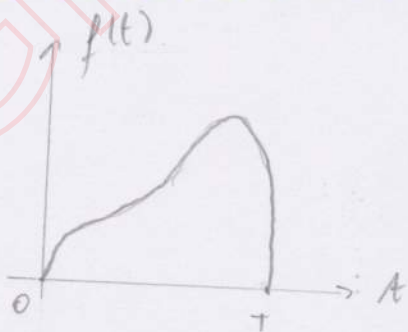
$$f(t) = \varphi(t) I(t) - \varphi(t) I(t-T)$$

als we $\varphi(t)$ schrijven als $\varphi[(t-T) + T]$

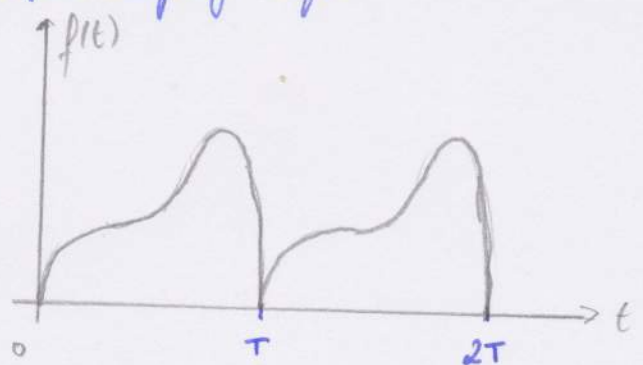
$$\Rightarrow f(t) = \varphi(t) I(t) - \varphi(t-T) I(t-T) - \varphi(T) I(t-T)$$

• De Laplace-getransformeerde van periodieke functies

$f(t)$ die nul is buiten $[0, T]$ + opeenvolging zelfde verloop



→



$$f(t) = f(t) \cdot I(t) + \dots + f(t-iT) I(t-iT)$$

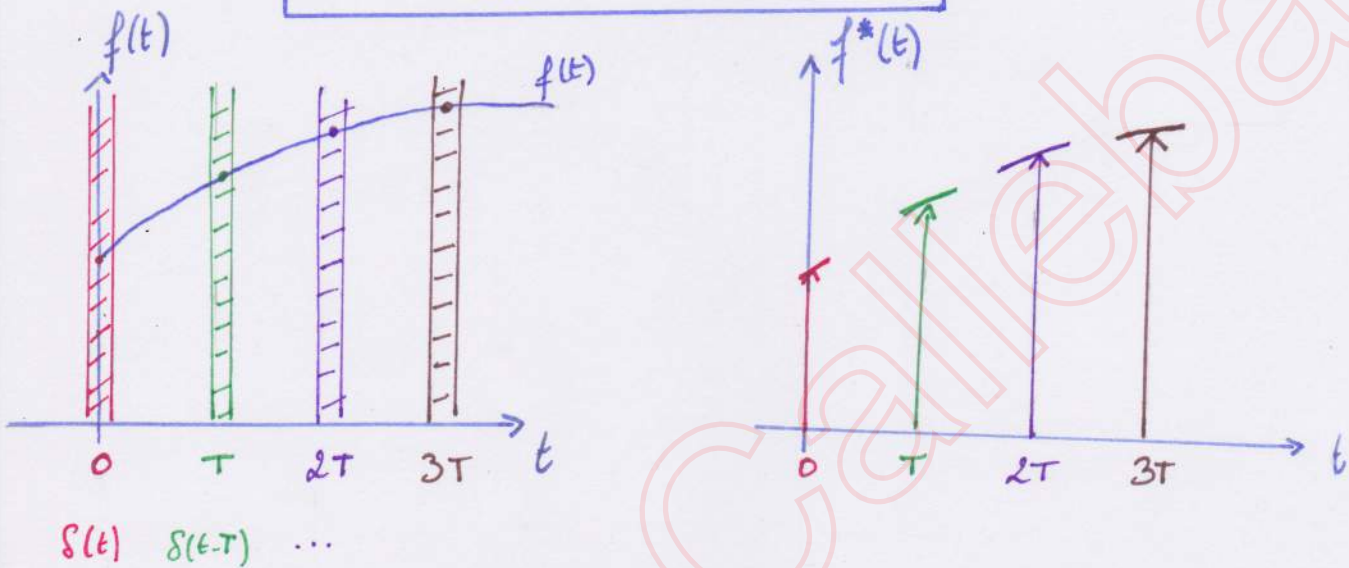
$$f_T(t) = \sum_{i=0}^{\infty} f(t-iT) I(t-iT)$$

$$F_T(s) = F(s) \sum_{i=0}^{\infty} e^{-iT s}$$

$$\sum_{i=0}^{\infty} e^{-iT s} = \frac{1}{1 - e^{-iT s}}$$

- De Laplace-getransformeerde van 'ideaal bemonsterde' functies

$$f^*(t) = \sum_{i=0}^{\infty} f(iT) \delta(t-iT)$$



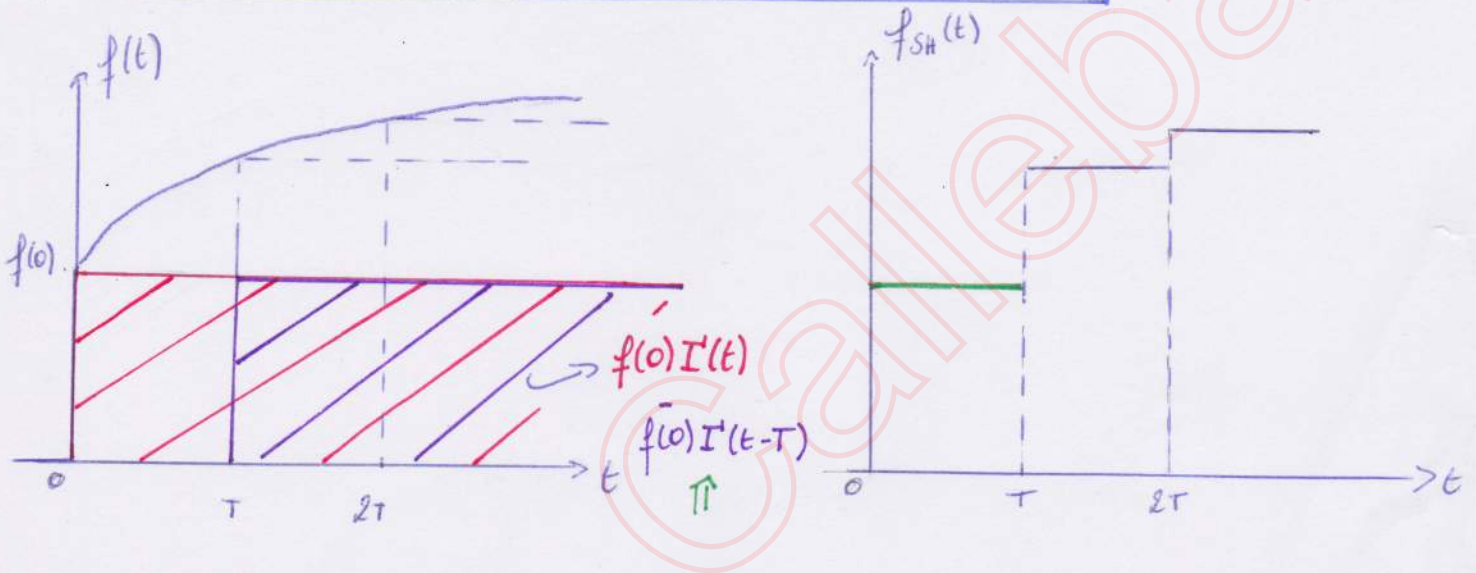
$$F^*(s) = \sum_{i=0}^{\infty} f(iT) e^{-iT_s}$$

$$\left. \begin{array}{l} z = e^{Ts} \\ e^{-iT_s} = (e^{Ts})^{-i} \end{array} \right\}$$

$$F(z) = \sum_{i=0}^{\infty} f(iT) z^{-i}$$

- De Laplace-getransformeerde van 'sample and hold'-functies

$$f_{SH}(t) = \sum_{i=0}^{\infty} f(iT) [I(t-iT) - I(t-(i+1)T)]$$



$$F_{SH}(s) = \sum_{i=0}^{\infty} f(iT) \left[\frac{e^{-iT\lambda}}{\lambda} - \frac{e^{-(i+1)T\lambda}}{\lambda} \right]$$

$$F_{SH}(s) = \frac{1 - e^{-T\lambda}}{\lambda} \sum_{i=0}^{\infty} f(iT) e^{-iT\lambda}$$

$$F_{SH}(s) = \frac{1 - e^{-T\lambda}}{\lambda} F^*(s)$$

Splossen van lineaire differentiaalverg.

2^{de} orde:

$$B_2 \frac{d^2 y(t)}{dt^2} + B_1 \frac{dy(t)}{dt} + B_0 y(t) = A_0 u(t)$$

$$\rightarrow B_2 [\mathcal{L}\{y''(t)\} - sy(0) - y'(0)] + B_1 [\mathcal{L}\{y'(t)\} - y(0)] + B_0 \mathcal{L}\{y(t)\} = A_0 U(s)$$

$$\rightarrow Y(s) [\mathcal{L}\{B_2 s^2 + B_1 s + B_0\}] = A_0 U(s) + (B_2 s + B_1) y(0) + B_2 y'(0)$$

$$Y(s) = \frac{A_0 U(s)}{s^2 B_2 + s B_1 + B_0} + \frac{B_2 s + B_1}{s^2 B_2 + s B_1 + B_0} y(0) + \frac{B_2}{s^2 B_2 + s B_1 + B_0} y'(0)$$

Hoofdstuk 4

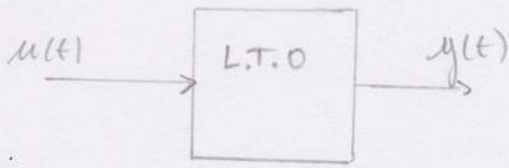
Studie van L.T.O. systemen

met hun

transferfunctie

Gilles Callebaut

De transferfunctie van een L.T.O. systeem



impulsresponsie

$$y(t) = h(t) * u(t)$$

$$Y(s) = H(s) \cdot U(s)$$

1^{ste} orde:

$$H(s) = \frac{K}{1 + s\tau}$$

$$\tau \frac{dy(t)}{dt} + y(t) = K \cdot u(t)$$

$$\tau \cdot (s Y(s)) + Y(s) = K \cdot U(s)$$

mits $y(0^+) = 0$

2^{de} orde:

$$H(s) = \frac{K}{\frac{s^2}{\omega_n^2} + \frac{2\zeta s}{\omega_n} + 1}$$

$$\frac{1}{\omega_n^2} \frac{d^2 y(t)}{dt^2} + \frac{2\zeta}{\omega_n} \frac{dy(t)}{dt} + y(t) = K \cdot u(t)$$

$$\frac{1}{\omega_n^2} (s^2 Y(s)) + \frac{2\zeta}{\omega_n} (s Y(s)) + Y(s) = K \cdot U(s)$$

mits $y(0^+) = y'(0^+) = 0$

Het polen-nul-diagram van de transferfunctie (PND)

Algemeen

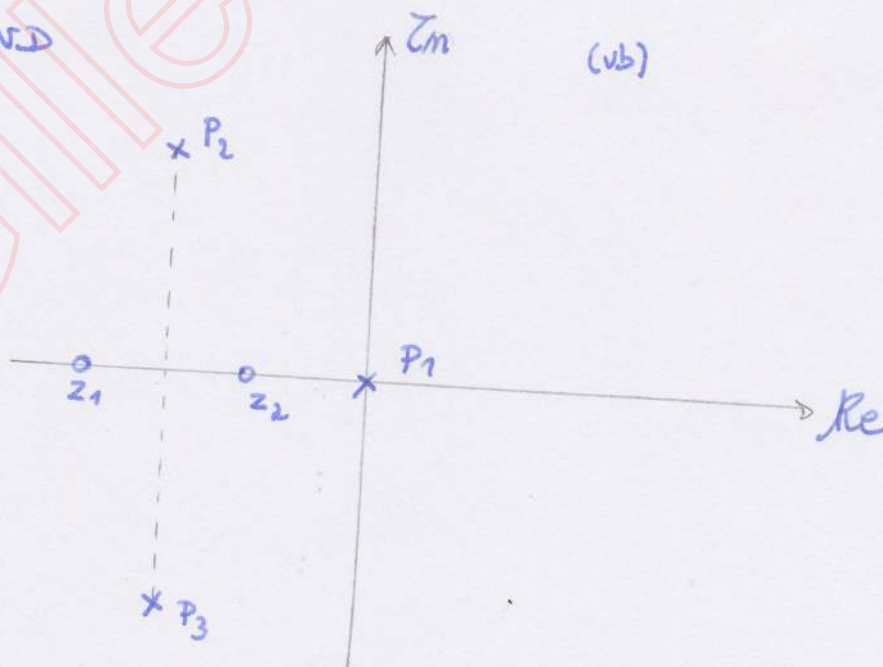
$$H(s) = \frac{A_m s^m + \dots + A_1 s + A_0}{B_n s^n + \dots + B_1 s + B_0}$$

$$= \frac{A_m}{B_n} \cdot \frac{s^m + \dots + a_0}{s^n + \dots + b_0} = K \cdot \frac{T(s)}{N(s)}$$

$$= K \cdot \frac{(s-z_1)(s-z_2)\dots(s-z_m)}{(s-p_1)(s-p_2)\dots(s-p_n)}$$

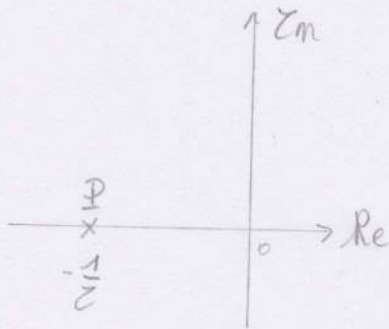
↗ m nullen
↘ n polen

PND



Het PND van een eerste-orde systeem

$$H(s) = \frac{K}{1 + sT} \rightarrow \frac{K}{T} \cdot \frac{1}{s + \frac{1}{T}} \quad p_1 = -\frac{1}{T}$$



Het PND van een tweede-orde systeem

$$H(s) = \frac{K}{\left(\frac{s}{\omega_n}\right)^2 + \left(\frac{s}{\omega_n}\right)2z + 1} \rightarrow \frac{K\omega_n^2}{s^2 + 2z\omega_n s + \omega_n^2} \rightarrow \frac{K\omega_n^2}{(s + z\omega_n)^2 + \omega_n^2(1 - z^2)}$$

wortels: $s^2 + 2z\omega_n s + \omega_n^2 = 0$

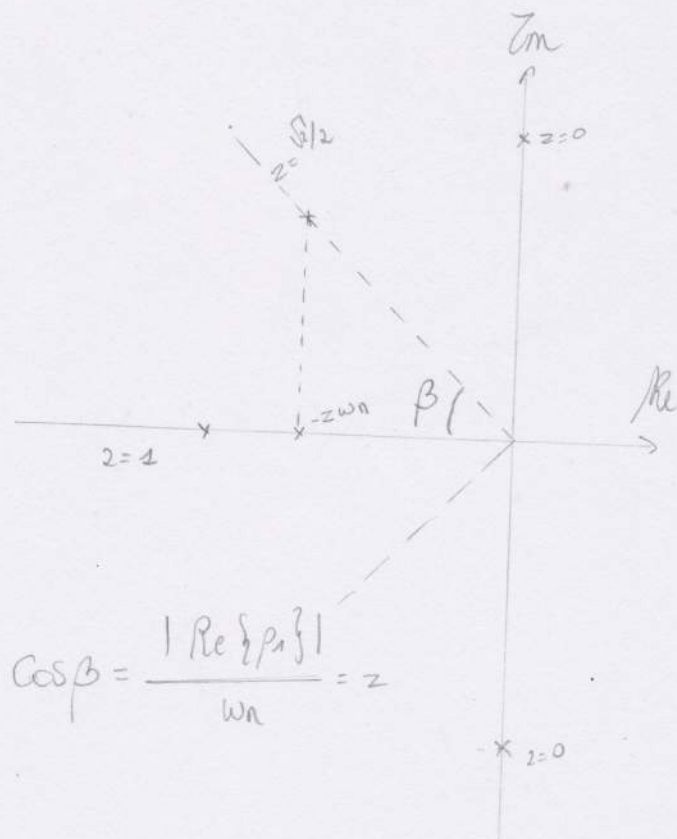
• $z > 1 \rightarrow p_1 = -\omega_n z + \omega_n \sqrt{z^2 - 1}$

$\rightarrow p_2 = -\omega_n z - \omega_n \sqrt{z^2 - 1}$

• $z = 1 \rightarrow p_1 = p_2 = -\omega_n$

• $z < 1 \rightarrow p_{1,2} = -\omega_n z \pm j\omega_n \sqrt{1 - z^2}$

• $z = 0 \rightarrow p_{1,2} = \pm j\omega_n$



$$\cos \beta = \frac{|\operatorname{Re}\{p_1\}|}{\omega_n} = z$$

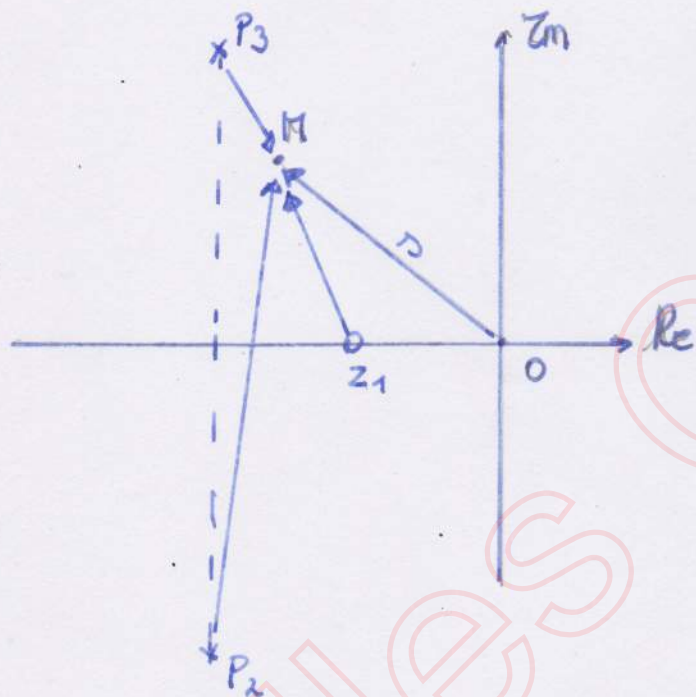
grafische interpretatie van de transferfunctie i.h. PND

$$H(s) = \frac{(s-z_1) \dots (s-z_m)}{(s-p_1) \dots (s-p_n)} \cdot K$$

\downarrow
 M

vektoren vanuit de nullen naar M

\rightarrow vektoren vanuit de polen naar M



modulus \rightarrow lengte
 argument \rightarrow hoek

$$|H(s)| = \frac{|z_1 M| \dots |z_m M|}{|p_1 M| \dots |p_n M|} K$$

$$\arg H = (\arg z_1 M + \dots + \arg z_m M) - (\arg p_1 M + \dots + \arg p_n M)$$

$k > 0$

De impulsresponsie van een L.T.O. systeem

$$h(t) = \mathcal{L}^{-1}\{H(s)\}$$

Polen bepalen de vorm
splitsen in partieelbreuken

inverse Laplace-
transformatie

$$\frac{A}{s-p_i}$$

dubbele reële polen

$$Ae^{p_i t}$$

$$A t e^{p_i t}$$

$$\frac{As+B}{(s-p_i)(s-p_j)} = \frac{As+B}{(s-\alpha)^2 + \omega^2}$$

$p_i = \alpha + j\omega$ $p_j = \alpha - j\omega$

$$C e^{\alpha t} \sin(\omega t + \varphi)$$

$$\frac{As+B}{s^2 + \omega^2}$$

$p = \pm j\omega$

$$C \sin(\omega t + \varphi)$$

$$\frac{As+B}{(s-p_i)^2 (s-p_j)^2} = \frac{As+B}{((s-\alpha)^2 + \omega^2)^2}$$

dubbel \rightarrow complexe toesp. polen

$$e^{\alpha t} [C \sin(\omega t + \varphi) + C' t \sin(\omega t + \varphi)]$$

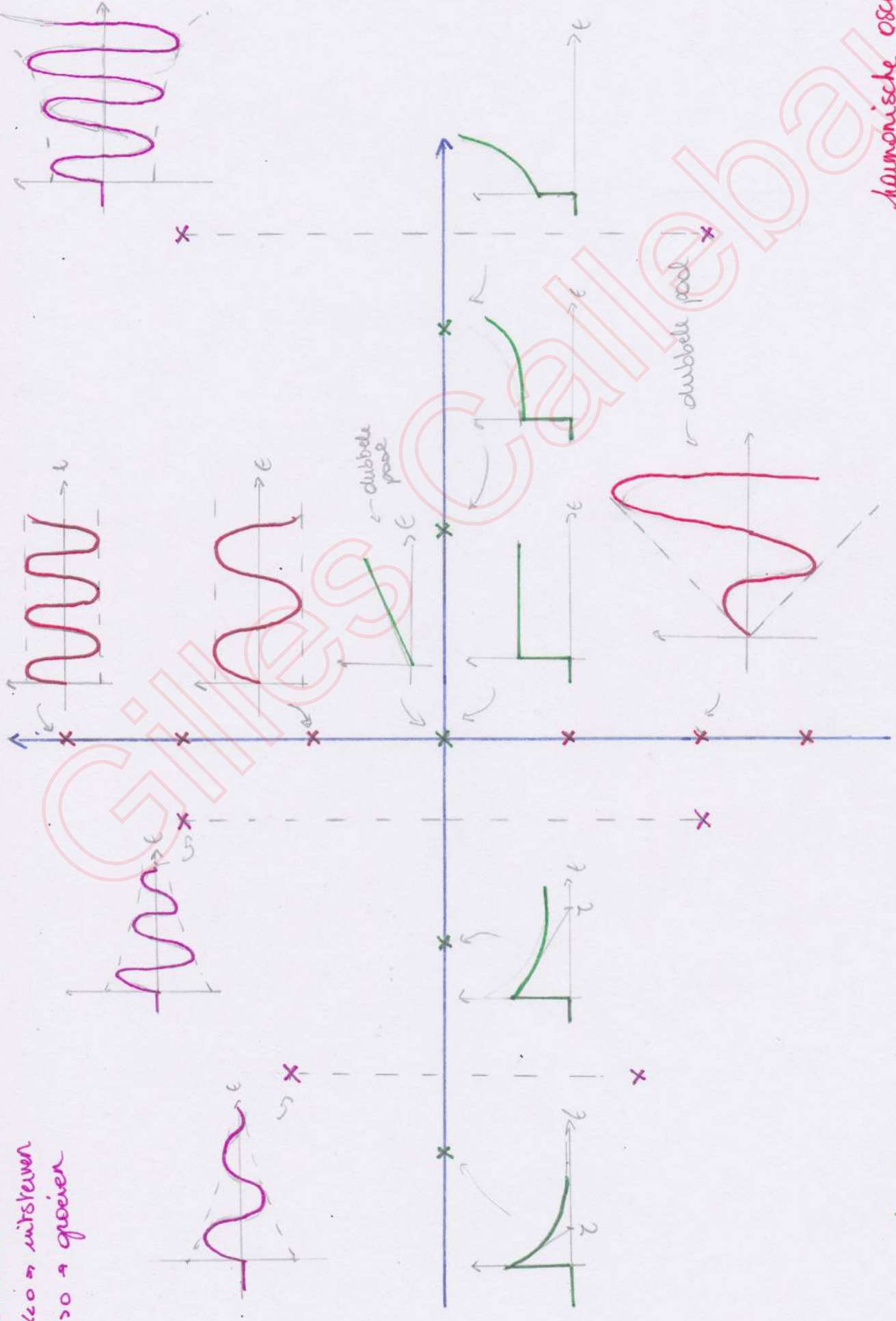
$$\frac{As+B}{(s^2 + \omega^2)^2}$$

\rightarrow dubbele imag. polen

$$C \sin(\omega t + \varphi) + C' t \sin(\omega t + \varphi)$$

oscillatoriske moden
 $\kappa < 0 \rightarrow$ utsterken
 $\kappa > 0 \rightarrow$ groeier

$$h(t) = \sum \text{moden}$$



harmoniske oscillatie
 $\text{cte } A \cdot \alpha \cdot \omega$

exp. moden mit
 $\zeta = \frac{1}{|p_i|}$
 neg. os \rightarrow utsterken
 pos. os \rightarrow groeier

De stabiliteit van een L.T.O. systeem

$h(t) \rightarrow$ uitsterven

\Rightarrow Opdat een L.T.O. systeem ^{stabiel} zou zijn, is het nodig en voldoende dat alle polen van zijn transferfunctie $H(s)$ i.h. linkerhalfvlak v.h. PND liggen.

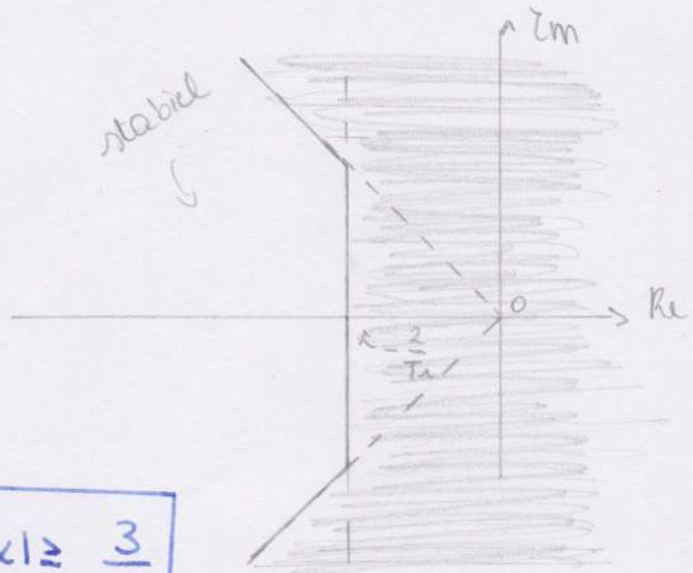
\rightsquigarrow na responsietijd $T_r \rightarrow$ verwaarloosbaar t.o.v begin kw:

$$e^{-\frac{t}{\tau}} \Big|_{t=T_r} \leq 0,05$$

$$\frac{T_r}{\tau} \geq 3$$

$$\frac{1}{\tau} \geq \frac{3}{T_r}$$

$$\boxed{|\alpha| \geq \frac{3}{T_r}}$$



\uparrow polen moeten links liggen
vd verticale rechte $-\frac{3}{T_r}$

\rightsquigarrow na halve periode gedempt

$$\pi \approx 3$$

$$\hookrightarrow \frac{1}{\tau} = \frac{6}{T} \rightarrow$$

$$\boxed{|\alpha| \geq \omega}$$

\uparrow alle complexen polen tussen de bissectrices v.h. tweede en 3^{de} kwadrant (45°)

De stapresponsie v.e. d.T.O. systeem

Algemeen

$$q(t) = \mathcal{L}^{-1} \left\{ \frac{H(s)}{s} \right\}$$

$$\mathcal{L} \{ I'(t) \} = \frac{1}{s}$$



eerste-ord systeem

$$H(s) = \frac{1}{1+Ts} \rightarrow q(t) = \mathcal{L}^{-1} \left\{ \frac{1}{s(1+Ts)} \right\} = \mathcal{L}^{-1} \left\{ \frac{A}{s} + \frac{B}{s+\frac{1}{T}} \right\}$$

$$q(t) = \left[1 - e^{-t/T} \right] I'(t)$$

tweede-ord systeem

$$H(s) = \frac{\omega_n^2}{s^2 + 2z\omega_n s + \omega_n^2} = \frac{\omega_n^2}{(s+z\omega_n)^2 + \omega_n^2(1-z^2)}$$

$$s_{1,2} = -z\omega_n \pm \sqrt{z^2\omega_n^2 - \omega_n^2} = -z\omega_n \pm \omega_n \sqrt{z^2 - 1}$$

$$\rightarrow q(t) = \mathcal{L}^{-1} \left\{ \frac{\omega_n^2}{s [(s+z\omega_n)^2 + \omega_n^2(1-z^2)]} \right\}$$

- $z = 1$ = 2 versch. wortels
- $z = 0$
- $z < 1$ = 2 complexe wortels
- $z > 1$ = 2 reële gelijke wortels

$z = 1$, kritische damping \leftarrow 2 reelle wactels

$$\frac{H(s)}{s} = \frac{\omega_n^2}{s(s + \omega_n)^2} = \frac{A}{s} + \frac{B}{s + \omega_n} + \frac{C}{(s + \omega_n)^2}$$

$$g(t) = 1 - e^{-\omega_n t} (1 + \omega_n t)$$

$$T_r = \frac{1.75}{\omega_n}$$

$z > 1$, krimpende damping \leftarrow 2 reelle wactels (verschillend)
 \leftarrow overdempt

$$s_{1,2} = -z\omega_n \pm \sqrt{z^2 - 1} \omega_n$$

$$\rightarrow s_1 = -\omega_n \cdot [z - \sqrt{z^2 - 1}] = -\frac{1}{\tau_1}$$

$$\rightarrow s_2 = -\omega_n \cdot [z + \sqrt{z^2 - 1}] = -\frac{1}{\tau_2}$$

$$\frac{H(s)}{s} = \frac{A}{s} + \frac{B}{s + \frac{1}{\tau_1}} + \frac{C}{s + \frac{1}{\tau_2}}$$

$$x \cdot s \Big|_{s=0} : A = \frac{\omega_n^2}{\frac{1}{\tau_1} \cdot \frac{1}{\tau_2}} = 1$$

$$x \cdot (s + \frac{1}{\tau_1}) \Big|_{s = -\frac{1}{\tau_1}} : B = \frac{\omega_n^2}{\left(-\frac{1}{\tau_1}\right) \left(-\frac{1}{\tau_2} + \frac{1}{\tau_2}\right)} = \frac{\omega_n^2}{-\frac{1}{\tau_1} \left(\frac{-\tau_2 + \tau_1}{\tau_1 \tau_2}\right)} = \frac{\omega_n^2}{\frac{1}{\tau_1} \frac{\tau_1 - \tau_2}{\tau_1 \tau_2}}$$

$$C = \frac{\tau_2}{\tau_1 - \tau_2}$$

$z < 1$, oscillatoire damping \leftarrow 2 complex toegevoegde wortels

$$\begin{aligned}
 H(s) &= \frac{\omega_n^2}{s^2 + 2z\omega_n s + \omega_n^2} \cdot \frac{1}{s} \\
 &= \frac{A}{s} + \frac{Bs + C}{s^2 + 2z\omega_n s + \omega_n^2} = \frac{As^2 + 2z\omega_n As + A\omega_n^2 + Bs^2 + Cs}{s(s^2 + 2z\omega_n s + \omega_n^2)} \\
 &= \frac{(A+B)s^2 + (2z\omega_n A + C)s + A\omega_n^2}{s(s^2 + 2z\omega_n s + \omega_n^2)}
 \end{aligned}$$

$$\rightarrow \begin{cases} A\omega_n^2 = \omega_n^2 \\ 2z\omega_n A + C = 0 \\ A + B = 0 \end{cases} \Rightarrow \begin{cases} A = 1 \\ C = -2z\omega_n \\ B = -1 \end{cases}$$

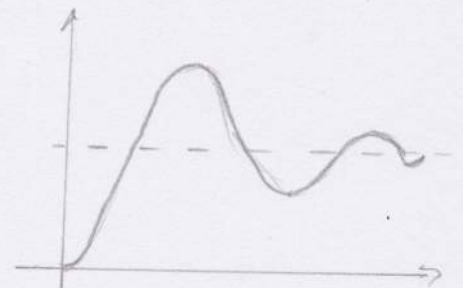
$$\begin{aligned}
 H(s) &= \frac{1}{s} - \frac{s + 2z\omega_n}{s^2 + 2z\omega_n s + \omega_n^2} = \frac{1}{s} - \frac{(s + z\omega_n) + z\omega_n}{(s + z\omega_n)^2 + (\omega_n \sqrt{1-z^2})^2} \cdot \frac{\sqrt{1-z^2}}{\sqrt{1-z^2}} \\
 &\quad \uparrow \omega_p \text{ eigenpulsatie}
 \end{aligned}$$

$$q(t) = 1 - e^{-z\omega_n t} \cdot \frac{1}{\sqrt{1-z^2}} \cdot \sin(\omega_n \sqrt{1-z^2} t + \Phi)$$

$\tan \Phi = \frac{\omega}{k}$ voor de vorm $\frac{s+k}{s^2+\omega^2}$

$$\tan \Phi = \frac{1-z^2}{2z}$$

zie tabel p.84



$$\frac{H(s)}{s} = \frac{1}{s} - \frac{z_1}{z_1 - z_2} \cdot \frac{1}{s + \frac{1}{z_1}} + \frac{z_2}{z_1 - z_2} \cdot \frac{1}{s + \frac{1}{z_2}}$$

$$q(t) = 1 - \frac{z_1}{z_1 - z_2} e^{-t/z_1} + \frac{z_2}{z_1 - z_2} e^{-t/z_2}$$

$$\begin{aligned} T_d &= 3z_1 \\ &= 3 \frac{z + \sqrt{z^2 - 1}}{\omega_n} \end{aligned}$$

z groot \rightarrow $z_1 \rightarrow \frac{z}{\omega_n}$
 $z_2 \rightarrow 0$

} \rightarrow lijken op eerste orde

Gilles

De harmonische responsie v.e. L.T.O. systeem

$$\begin{cases} \bar{Y} = H(j\omega) \bar{U} \\ H(j\omega) = H(s) \Big|_{s=j\omega} \end{cases}$$

$$\rightarrow H(j\omega) = k \frac{(j\omega - z_1) \dots (j\omega - z_m)}{(j\omega - p_1) \dots (j\omega - p_n)}$$

reële nul

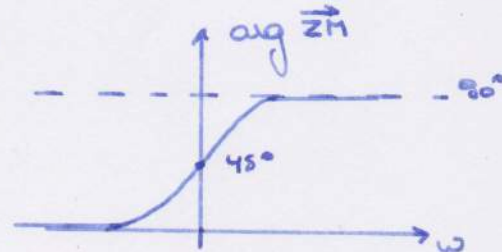
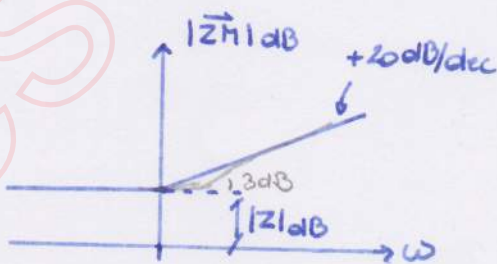
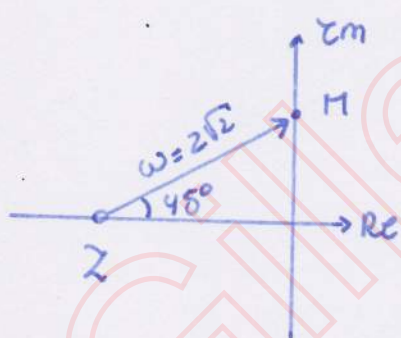
$|z|$

$0 \rightarrow z\sqrt{2} \rightarrow |z| \sim \omega$

arg

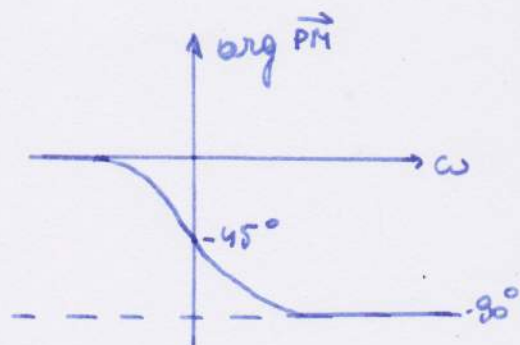
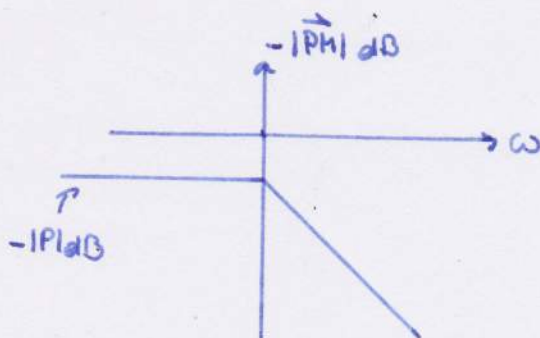
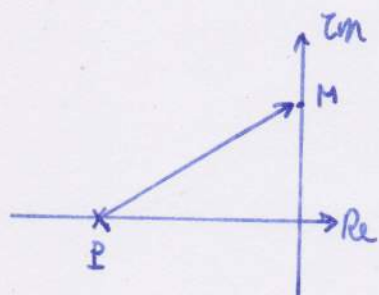
$0^\circ \rightarrow 45^\circ \rightarrow 90^\circ$

bijdrage reële nul

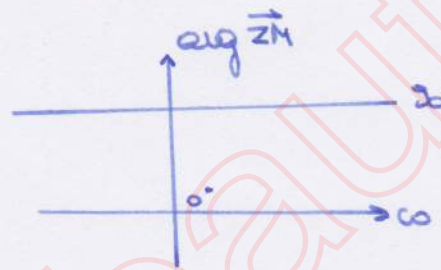
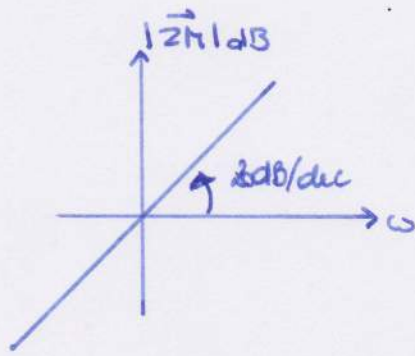
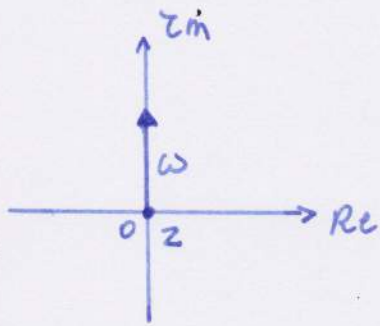


reële pool

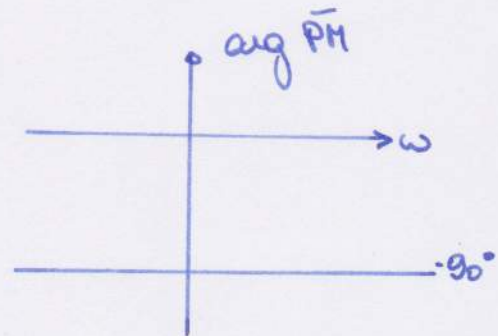
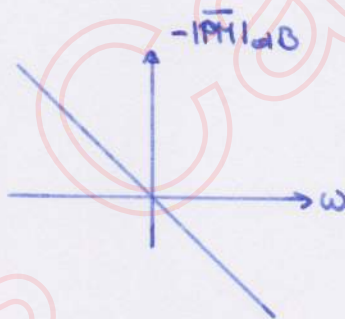
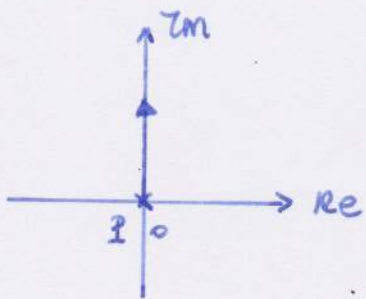
↳ gelijkwaardige vector als reële nul \rightarrow noemer \rightarrow min-teken



• nul i.d. oorsprong ← differentiatiefactor

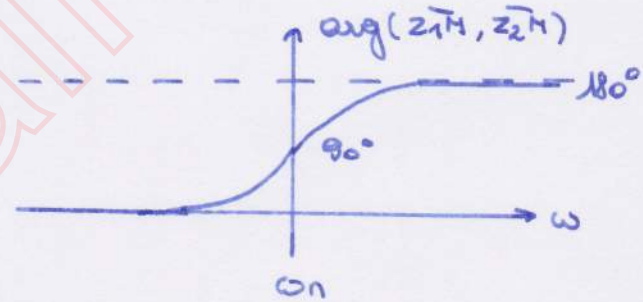
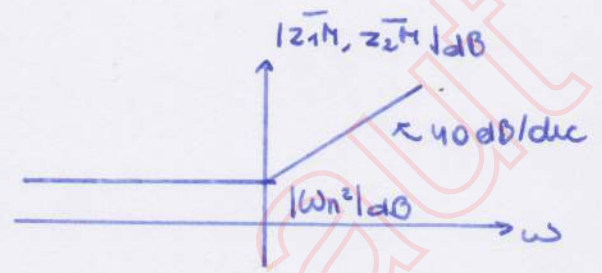
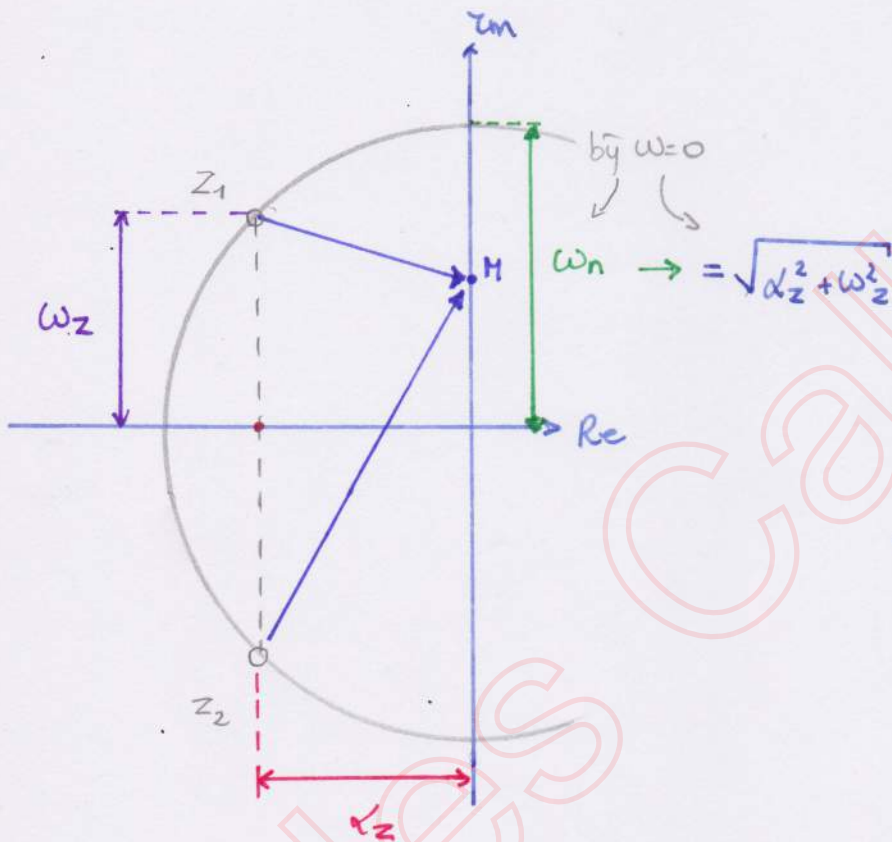


• pool i.d. oorsprong ← integratiefactor



- een paar complex toegevoegde nullen

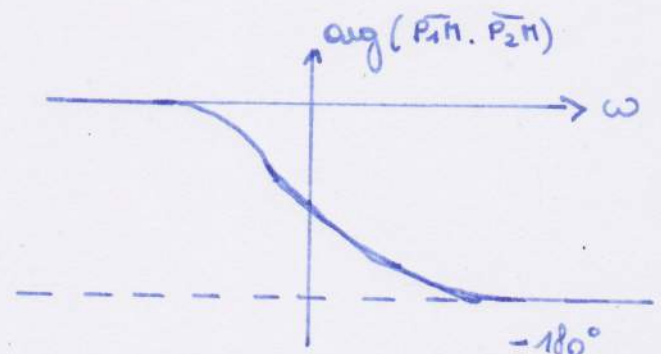
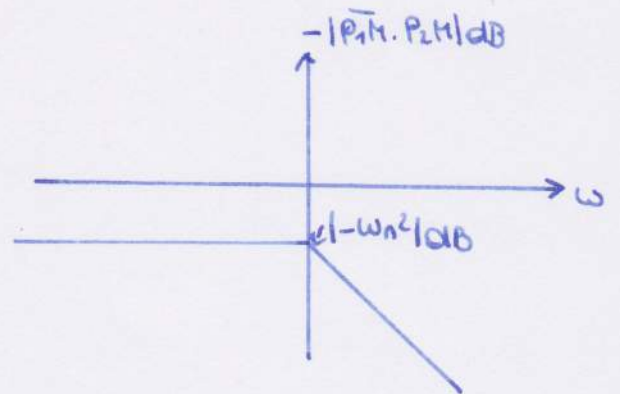
$$z_1 = \alpha_z \pm j\omega_z$$



- een paar complex toegevoegde polen

$$p_1 = \alpha_p \pm j\omega_p$$

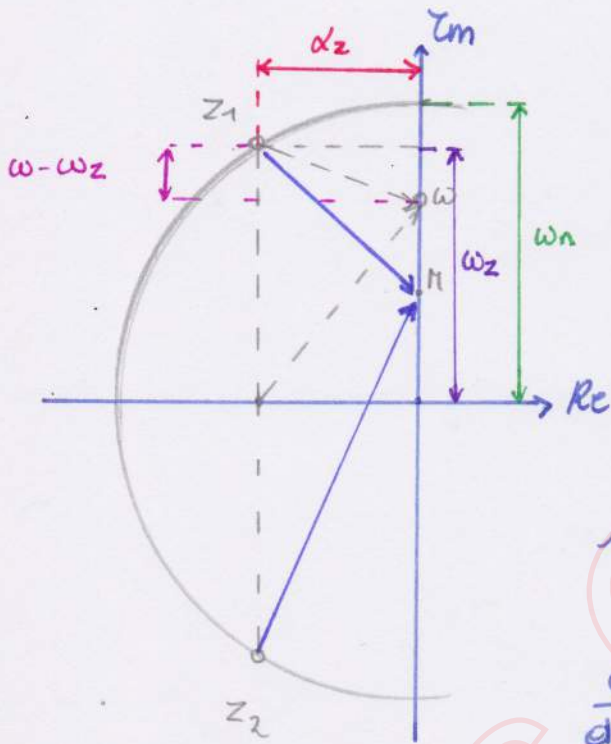
gelykwaardige vectoren
(zie hierboven)



bijdrage tot amplitudekar.

↳ max: nullen
 ↳ min: polen

} tussen bissectrices v.h.
 2^d & 3^{de} kwadrant



$$|\vec{z}_1 M| = \sqrt{(\omega_z - \omega)^2 + \alpha_z^2}$$

$$|\vec{z}_2 M| = \sqrt{(\omega_z + \omega)^2 + \alpha_z^2}$$

minimum bepalen:

$$\min \{ |\vec{z}_1 M| \cdot |\vec{z}_2 M| \}$$

$$\frac{d}{d\omega^2} (2(\omega_z^2 + \omega^2 + \alpha_z^2) - 4\omega z^2) = 0$$

$$\omega^2 = \omega_z^2 - \alpha_z^2$$

$$\rightarrow \boxed{\omega_{res} = \sqrt{\omega_z^2 - \alpha_z^2}}$$

) als $\omega_z > \alpha_z$

complex toegev. nullen

$$z_1 = \alpha_z \pm j\omega_z \rightarrow [j\omega - (\alpha_z + j\omega_z)][j\omega - (\alpha_z - j\omega_z)]$$

$$= (j\omega)^2 + 2z\omega_n j\omega + \omega_n^2$$

waarbij

$$\begin{cases} \omega_n = \sqrt{\alpha_z^2 + \omega_z^2} \\ z = \frac{\alpha_z}{\omega_n} \end{cases}$$

Hoofdstuk 5

De Fourieranalyse

+

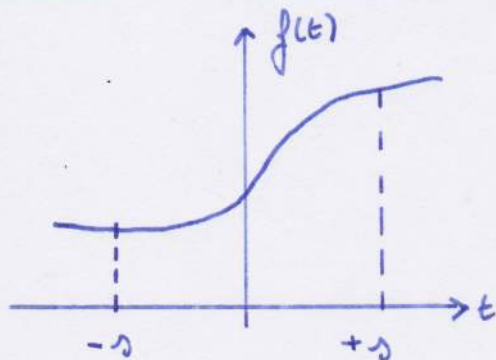
Appendix A

Gillesallebaut

Hoofdstuk 5

De Fourieranalyse

De Fourierreeksontwikkeling



$$f(t) = \frac{b_0}{2} + \sum_{h=1}^{\infty} \left(b_h \cos \frac{h\pi t}{T} + a_h \sin \frac{h\pi t}{T} \right)$$

$$\begin{cases} b_0 = \frac{1}{T} \int_{-T}^{+T} f(t) dt \\ b_h = \frac{1}{T} \int_{-T}^{+T} f(t) \cos \frac{h\pi t}{T} dt \\ a_h = \frac{1}{T} \int_{-T}^{+T} f(t) \sin \frac{h\pi t}{T} dt \end{cases}$$

om sinus & cosinus herleiden:

$$f(t) = \frac{b_0}{2} + \sum_{h=1}^{\infty} g_h \sin \left(\frac{h\pi t}{T} + \theta_h \right)$$

$$f(t) = \frac{b_0}{2} + \sum_{h=1}^{\infty} g_h \cos \left(\frac{h\pi t}{T} + \theta'_h \right)$$

$$\text{met } \begin{cases} g_h = a_h^2 + b_h^2 \\ \theta_h = \text{Bgtg} \frac{b_h}{a_h} \\ \theta'_h = -\text{Bgtg} \frac{a_h}{b_h} \end{cases}$$

voor periodieke functie \rightarrow interval $\left(-\frac{T}{2}, +\frac{T}{2}\right)$

Fourieranalyse van een periodieke tijdsfunctie

$$\rightarrow \omega = \frac{T}{2} \quad \text{met} \quad \omega = \frac{2\pi}{T}$$

$$f(t) = \frac{b_0}{2} + \sum_{h=1}^{\infty} (b_h \cosh\omega t + a_h \sinh\omega t)$$

$\frac{b_0}{2}$ = gemiddelde waarde vd periodieke fct

met

$$\left\{ \begin{aligned} b_0 &= \frac{2}{T} \int_{-\frac{T}{2}}^{+\frac{T}{2}} f(t) dt \\ b_h &= \frac{2}{T} \int_{-\frac{T}{2}}^{+\frac{T}{2}} f(t) \cosh\omega t dt \\ a_h &= \frac{2}{T} \int_{-\frac{T}{2}}^{+\frac{T}{2}} f(t) \sinh\omega t dt \end{aligned} \right.$$

- even functie ($f(t) \equiv f(-t)$)

$\rightarrow a_h = 0$ voor alle h -waarden \rightarrow enkel cos termen

- oneven functie ($f(t) \equiv -f(-t)$)

$\rightarrow b_0 = 0$ & $b_h = 0$ voor alle h -waarden \rightarrow enkel sin termen

- halve-geljsymm. ($f(t) \equiv -f(t + \frac{T}{2})$) of ($f(t) \equiv f(t + \frac{T}{2})$)
enkel oneven harm. enkel even harm.

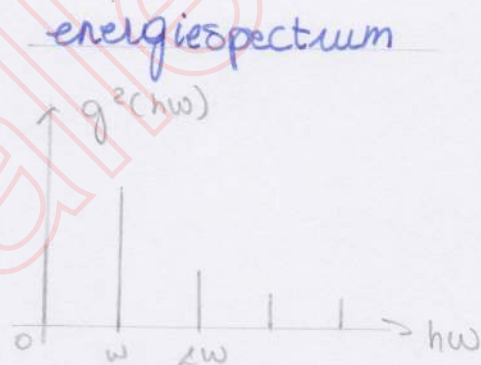
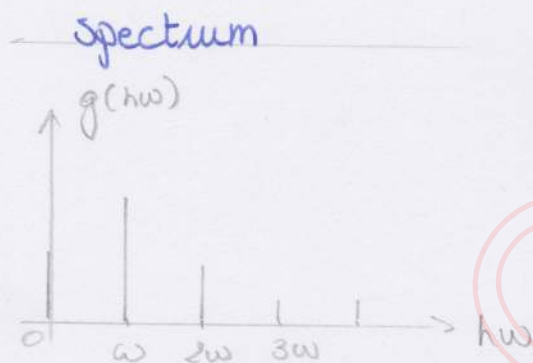


Het spectrum van een periodieke functie

$$\Rightarrow f(t) = \frac{b_0}{2} + \sum_{h=1}^{\infty} g_h \cos(h\omega t + \theta'_h)$$

amplitude
bij $\omega=0$

$$\sqrt{a_n^2 + b_n^2}$$



De effectieve waarde van een periodieke tijdsfunctie

$$\Rightarrow v(t) = V_0 + \sum_{h=1}^{\infty} V_h \sqrt{2} \cos(h\omega t + \beta_h)$$

↑
gelijkspannings-
componente

↑
effectieve
waarde met freq. $h\omega$

$$\begin{aligned} \rightarrow v^2(t) &= V_0^2 + V_0 \sum_{h=1}^{\infty} V_h \sqrt{2} \cos(h\omega t + \beta_h) + V_0 \sum_{k=1}^{\infty} V_k \sqrt{2} \cos(k\omega t + \beta_k) \\ &+ \left[\sum_{h=1}^{\infty} V_h \sqrt{2} \cos(h\omega t + \beta_h) \right] \left[\sum_{k=1}^{\infty} V_k \sqrt{2} \cos(k\omega t + \beta_k) \right] \end{aligned}$$

$$\int_T v^2(t) dt = V_0^2 T + V_0 \sum_{h=1}^{\infty} V_h \sqrt{2} \int_T \cos(h\omega t + \beta_h) dt +$$

$$V_0 \sum_{k=1}^{\infty} V_k \sqrt{2} \int_T \cos(k\omega t + \beta_k) dt +$$

$$2 \sum_{h=1}^{\infty} \sum_{k=1}^{\infty} V_h V_k \int_T \cos(h\omega t + \beta_h) \cos(k\omega t + \beta_k) dt$$

$$\cos(\alpha + \beta) = \cos\alpha \cos\beta - \sin\alpha \sin\beta$$

$$\cos(\alpha - \beta) = \cos\alpha \cos\beta + \sin\alpha \sin\beta$$

$$\cos(\alpha + \beta) + \cos(\alpha - \beta) = 2 \cos\alpha \cos\beta$$

$$= V_0^2 T + 2 \sum_{h=1}^{\infty} \sum_{k=1}^{\infty} V_h V_k \int_T \frac{1}{2} [\cos((h+k)\omega t + \beta_h + \beta_k) + \cos((h-k)\omega t + \beta_h - \beta_k)] dt$$

$$= 0^* \text{ behalte als } h=k$$

$$\int_T \cos n\omega t dt = 0 \text{ u\u00f6ber } n=1,2,3,\dots$$

$$T \text{ u\u00f6ber } n=0$$

$$\int_T v^2(t) dt = V_0^2 T + \sum_{h=1}^{\infty} V_h^2 T$$

Het vermogen geleerd door een periodieke spanning

$$p(t) = v(t) \cdot i(t)$$

&

$$P = \frac{1}{T} \int_T p(t) dt$$

$$P = \frac{1}{T} \left[V_0 I_0 T + I_0 \sum_{h=1}^{\infty} V_h \sqrt{2} \int_T \cos(h\omega t + \beta_h) dt \right.$$

$$\left. + V_0 \sum_{k=1}^{\infty} I_k \sqrt{2} \int_T \cos(k\omega t + \alpha_k) dt \right]$$

$$+ 2 \sum_{h=1}^{\infty} \sum_{k=1}^{\infty} V_h I_k \int_T \cos(h\omega t + \beta_h) \cos(k\omega t + \alpha_k) dt$$

$$= V_0 I_0 + \frac{1}{T} \sum_{h=1}^{\infty} \sum_{k=1}^{\infty} V_h I_k \int_T \cos((h+k)\omega t + \beta_h + \alpha_k)$$

$$+ \cos((h-k)\omega t + \beta_h - \alpha_k) dt$$

$$P = V_0 I_0 + \sum_{h=1}^{\infty} V_h I_h \cos \phi_h$$

$$\phi = \beta_h - \alpha_h$$

De exponentiële vorm van de Fourierreek van per. fct

$$f(t) = \frac{b_0}{2} + \sum_{k=1}^{\infty} \left(b_k \cos k\omega t + a_k \sin k\omega t \right)$$

$\begin{matrix} \uparrow & & \uparrow \\ \frac{e^{jk\omega t} + e^{-jk\omega t}}{2} & & \frac{e^{jk\omega t} - e^{-jk\omega t}}{2j} \end{matrix}$

$$f(t) = \frac{b_0}{2} + \sum_{k=1}^{\infty} \left(\frac{b_k - ja_k}{2} e^{jk\omega t} + \frac{b_k + ja_k}{2} e^{-jk\omega t} \right)$$

$$\frac{b_k - ja_k}{2} = \frac{1}{T} \int_{-T/2}^{+T/2} f(t) e^{-jk\omega t} dt \quad (1)$$

$$\frac{b_k + ja_k}{2} = \frac{1}{T} \int_{-T/2}^{+T/2} f(t) e^{+jk\omega t} dt \quad (2)$$

⇒

$$c_n = \frac{1}{T} \int_{-T/2}^{+T/2} f(t) e^{-jn\omega t} dt$$

→ voor $h = k \rightarrow (1)$

→ voor $h = 0 \rightarrow c_n = \frac{b_0}{2}$

→ voor $h = -k \rightarrow (2)$

⇒

$$f(t) = \sum_{n=-\infty}^{\infty} c_n e^{jn\omega t}$$

Responsie van een L.T.O. systeem op een periodiek signaal

- periodiek ingangsignaal \rightarrow goniometrische Fourierreeks

$$u(t) = \sum_{h=0}^{\infty} U_h \cos(h\omega t + \alpha_h)$$



waarbij $\bar{Y}_h = H(j\omega) \bar{U}_h$

\nearrow $Y_h e^{j\beta h}$ \nearrow $U_h e^{j\alpha h}$

$$y(t) = \sum_{h=0}^{\infty} Y_h \cos(h\omega t + \beta_h)$$

- per. ingangsign. \rightarrow exponentiële Fourierreeks

$$u(t) = \sum_{h=-\infty}^{+\infty} \tilde{u}_h(t) = \sum_{h=-\infty}^{+\infty} u_h e^{jh\omega t}$$



waarbij: $\tilde{y}_h(t) = H(j\omega) u_h e^{jh\omega t}$

$$y(t) = \sum_{h=-\infty}^{+\infty} \tilde{y}_h(t)$$

De integraal van Fourier

De exponentiële vorm

$$f(t) = \sum_{h=-\infty}^{+\infty} C_h e^{jh\omega t} \quad \longrightarrow \quad f(t) = \sum_{h=-\infty}^{+\infty} \frac{\omega}{2\pi} \int_{-\sigma}^{+\sigma} f(\lambda) e^{-jh\omega\lambda} d\lambda e^{jh\omega t}$$

met $C_h = \frac{1}{2\sigma} \int_{-\sigma}^{+\sigma} f(\lambda) e^{-jh\omega\lambda} d\lambda$

Als $\sigma \rightarrow \infty$; $\omega \rightarrow 0$

Stellen we $h\omega = z$ dan $\omega = \Delta z$ $\sigma \rightarrow \infty$ dan $z =$ continue variabele
& $\Delta z = dz$

$$\Rightarrow f(t) = \frac{1}{2\pi} \lim_{\sigma \rightarrow \infty} \sum_{h=-\infty}^{+\infty} \left[\int_{-\sigma}^{+\sigma} f(\lambda) e^{-jz\lambda} d\lambda \right] e^{jz t} \Delta z$$

$\lambda \rightarrow t$
 $z \rightarrow \omega$

$$f(t) = \frac{1}{2\pi} \int_{-\infty}^{+\infty} \left[\int_{-\infty}^{+\infty} f(t) e^{-j\omega t} dt \right] e^{+j\omega t} d\omega$$



$\Phi(j\omega)$

zie volgende pagina

De Fouriertransformatie

Definitie

$$\Phi(j\omega) = \int_{-\infty}^{+\infty} f(t) e^{-j\omega t} dt$$

→
Fourierge-
transformeerde

$$\rightarrow f(t) = \frac{1}{2\pi} \int_{-\infty}^{+\infty} \Phi(j\omega) e^{+j\omega t} d\omega$$

↘

$$\Phi(j\omega) = F\{f(t)\}$$

waarbij

$|\Phi(j\omega)|$ (amplitude)-spectrum

$|\Phi(j\omega)|^2$ energiespectrum

Belangrijke Fouriergetransformeerden

• Als $f(t) = 0$ voor $t < 0 \rightarrow \Phi(j\omega) = F(s) \Big|_{s=j\omega}$

• $F\{\cos \omega_0 t\}$; $F\{\sin \omega_0 t\}$

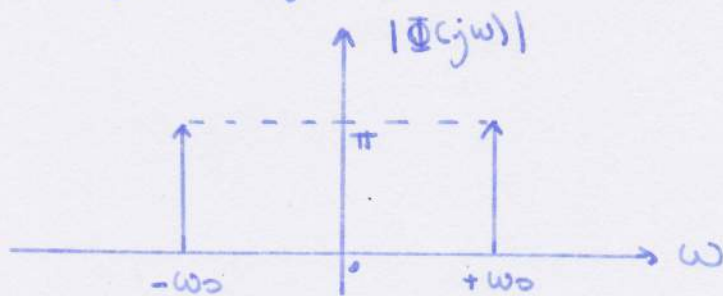
$$\begin{aligned} \cos \omega_0 t &= \frac{1}{2j} [e^{j\omega_0 t} + e^{-j\omega_0 t}] \\ \sin \omega_0 t &= \frac{1}{2j} [e^{j\omega_0 t} - e^{-j\omega_0 t}] \end{aligned}$$

↓ Dirac: $\int_{-\infty}^{+\infty} f(t) \cdot \delta(t-t_0) dt = f(t_0)$

$$= \frac{1}{2j} \left[\int_{-\infty}^{+\infty} e^{+j\omega t} \delta(\omega - \omega_0) d\omega + \int_{-\infty}^{+\infty} e^{+j\omega t} \delta(\omega + \omega_0) d\omega \right]$$

$$= \frac{1}{2\pi} \int_{-\infty}^{+\infty} [-j\pi (\delta(\omega - \omega_0) \pm \delta(\omega + \omega_0))] \cdot e^{j\omega t} d\omega$$

$$F\{\cos \omega_0 t\} = \pi (\delta(\omega - \omega_0) - \delta(\omega + \omega_0)) \quad F\{\sin \omega_0 t\} = j\pi (\delta(\omega + \omega_0) - \delta(\omega - \omega_0))$$



← zelfde amplitude-spectrum voor sin & cos

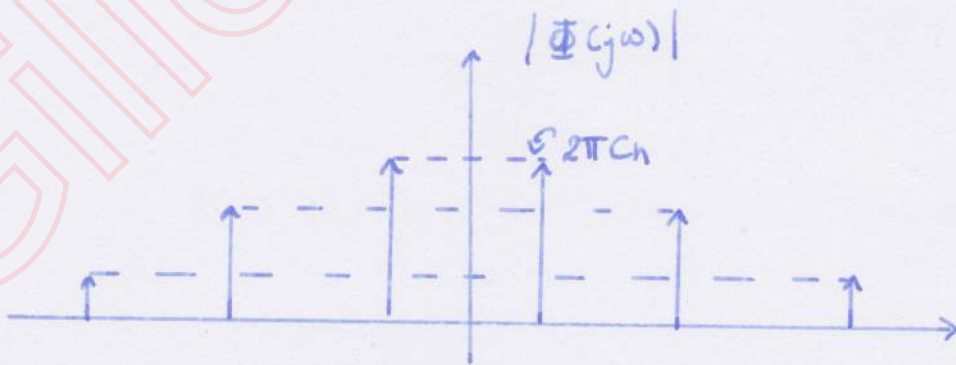
• Fouriergetransformeerde van periodieke fct

$$f(t) = \sum_{h=-\infty}^{+\infty} C_h e^{j h \omega_0 t}$$

$$\rightarrow = \int_{-\infty}^{+\infty} \sum_{h=-\infty}^{+\infty} C_h \delta(\omega - h \omega_0) e^{j \omega t} d\omega$$

$$f(t) = \frac{1}{2\pi} \int_{-\infty}^{+\infty} \left[\sum_{h=-\infty}^{+\infty} 2\pi C_h \delta(\omega - h \omega_0) \right] e^{j \omega t} d\omega$$

$\Phi(j\omega) / \mathcal{F}\{f(t)\}$



Eigenschappen van de Fouriertransformatie

• lineariteit

• $\Phi(j\omega) = \Phi^*(-j\omega)$ want $\bar{A} = a + bj = |A| e^{j\theta}$
 $\bar{A}^* = a - bj = |A| e^{-j\theta}$

daaruit volgt:

$$|\Phi(j\omega)| = |\Phi(-j\omega)|$$

$$\arg \Phi(j\omega) = -\arg \Phi(-j\omega)$$

→ spectrum is dus symm. t.o.v. de $|\Phi|$ -as

• Als $f(t)$ even $\rightarrow f(-t) = f(t) \rightarrow \Phi(j\omega) = \Phi^*(j\omega)$
↳ dan is Φ een reële functie

Als $f(t)$ oneven $\rightarrow f(-t) = -f(t) \rightarrow \Phi(j\omega) = -\Phi^*(j\omega)$
↳ dan is Φ een zuiver imaginair functie

• Symmetrie: $\Phi(j\omega) = \mathcal{F}^{-1}\{2\pi f(-\omega)\}$

• verschuiving tijdschaal: $\Phi(j\omega) e^{-j\omega t_0} = \mathcal{F}\{f(t-t_0)\}$

• verandering tijdschaal: $\frac{1}{a} \Phi\left(\frac{j\omega}{a}\right) = \mathcal{F}\{f(at)\}$

• verschuiving freq. domain: $\Phi(j(\omega-\omega_0)) = \mathcal{F}\{e^{j\omega_0 t} f(t)\}$

- convolutie in de tijd: $\Phi_1(j\omega) \cdot \Phi_2(j\omega) = \mathcal{F}\{f_1(t) * f_2(t)\}$
- convolutie i.t. freq. domain: $\frac{1}{2\pi} [\Phi_1(j\omega) * \Phi_2(j\omega)] = \mathcal{F}\{f_1(t) \cdot f_2(t)\}$

$$= \int_{-\infty}^{+\infty} \Phi_1(j\Omega) \Phi_2(j\omega - j\Omega) d\Omega$$

• Formule van Parseval

$$\int_{-\infty}^{+\infty} |f(t)|^2 dt = \frac{1}{2\pi} \int_{-\infty}^{+\infty} |\Phi(j\omega)|^2 d\omega$$

↑
gedissipeerd
energie over $\pm \Omega$

↑
energiedichtheid / bandbreedte
= spectrale energiedichth.

• Sommatie-formule van Poisson

$$f(t) \text{ willekeurig} \rightarrow \sum_{n=-\infty}^{+\infty} f(nT) = \frac{1}{T} \sum_{n=-\infty}^{+\infty} \Phi(jn\omega_0) \text{ met } \omega_0 = \frac{2\pi}{T}$$

$$f(t) = 0 \text{ voor } t < 0 \rightarrow \sum_{n=0}^{+\infty} f(nT) = \frac{f(0^+)}{2} + \frac{1}{T} \sum_{n=-\infty}^{+\infty} \Phi(jn\omega_0)$$

↑
correctieterm.

De gemiddelde waarde van een analog signaal

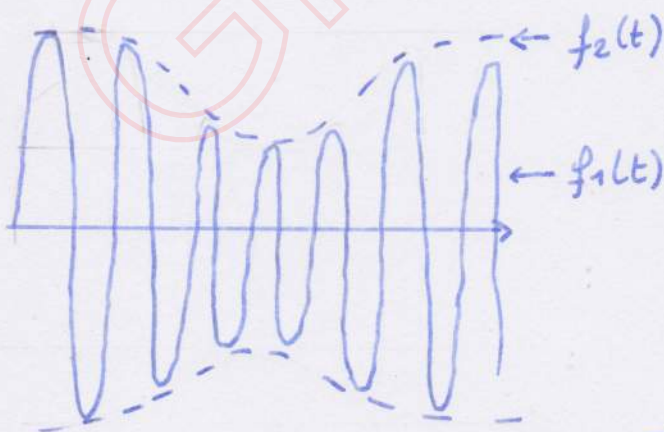
$$V_{gem} = \frac{1}{T} \int_0^T v(t) dt \quad \& \quad V(j\omega) = \int_0^T v(t) e^{-j\omega t} dt$$

$$\Rightarrow V_{gem} = \frac{V(j0)}{T}$$

De effectieve waarde van een analog signaal

$$V_{eff}^2 = \frac{1}{T} \int_0^T v^2(t) dt \quad \xrightarrow{\text{Parseval}} \quad V_{eff}^2 = \frac{1}{2\pi T} \int_{-\infty}^{+\infty} |V(j\omega)|^2 d\omega$$

Het spectrum van een amplitude-gemoduleerd signaal



$$\text{met } \begin{cases} f_1(t) = A_c \cos \omega_c t \\ f_2(t) = 1 + m \cos \omega_m t \end{cases}$$

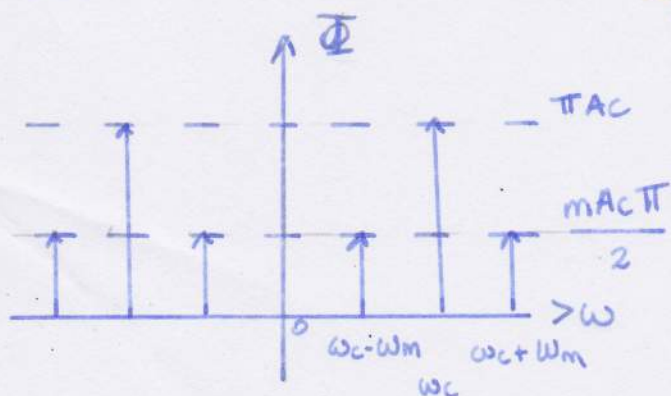
↑
modulatie diepte

$$\omega_c \gg \omega_m$$

$$\rightarrow f_1(t) \cdot f_2(t)$$

$$\rightarrow \mathcal{F} \{ f_1(t) \cdot f_2(t) \}$$

$$= \frac{1}{2\pi} \left[\Phi_1(j\omega) * \Phi_2(j\omega) \right]$$



De responsie van een L.T.O. systeem

$$y(t) = \int_0^t u(z) h(t-z) dz = \int_{-\infty}^{+\infty} u(z) h(t-z) dz$$

$$\Rightarrow Y(j\omega) = H(j\omega) U(j\omega)$$

\uparrow \uparrow \uparrow
= = =
 $F\{y(t)\}$ $F\{h(t)\}$ $F\{u(t)\}$

$$h(t) = 0 \text{ voor } t < 0$$

$$\Rightarrow H(j\omega) = H(s) \Big|_{s=j\omega}$$

Fourier-
getransf.

Laplace-
getransf.

Appendix A:

Stabiliteitscriterium van Routh-Hurwitz

stabiel als karakt. verg. geen pos. reële wortels
↳ alle coëff. hetzelfde teken.

R-H tabel

| | | | | |
|-----------|-----------|-----------|-----------|-----|
| s^n | 1 | b_{n-2} | b_{n-4} | ... |
| s^{n-1} | b_{n-1} | b_{n-3} | b_{n-5} | ... |
| s^{n-2} | c_1 | c_2 | c_3 | ... |
| s^{n-3} | d_1 | d_2 | ... | |
| ... | | | | |
| s^0 | m_1 | | | |

↑

met

$$c_1 = \frac{\begin{vmatrix} 1 & b_{n-2} \\ b_{n-1} & b_{n-3} \end{vmatrix}}{b_{n-1}}$$

$$c_2 = \frac{\begin{vmatrix} 1 & b_{n-4} \\ b_{n-2} & b_{n-5} \end{vmatrix}}{b_{n-1}}$$

$$d_1 = \frac{\begin{vmatrix} b_{n-1} & b_{n-3} \\ c_1 & c_2 \end{vmatrix}}{c_1}$$

tekenomwisseling
=

wortels met pos. Re. deel

Problemen

- eerste element rij = 0 → vervangen door ϵ zeer klein getal
- nul rij → rij boven afleiden → invullen ipv. nulrij.

Deel 2:

Tijdsdiscrete

systemen

Gilles

allebaat

Hoofdstuk 1

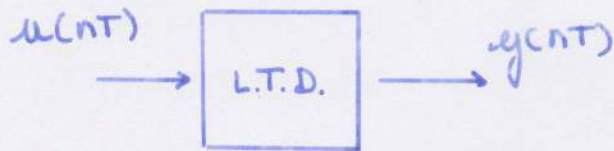
Tijddiscrete systemen

Gilles

Callebaut

lineaire tijdsafhankelijke discrete systemen

Definitie



- lineariteit: superpositie
- Tijdsafh.:
 $u(nT) \rightarrow y(nT)$
 $u(nT - kT) \rightarrow y(nT - kT)$
- causaliteit: enkel afhankelijk van de ingang op dat moment

Het wiskundig model

de differentievergelijking

$$y(nT) = \sum_{i=0}^N a_i u(nT - iT) - \sum_{i=1}^N b_i y(nT - iT)$$

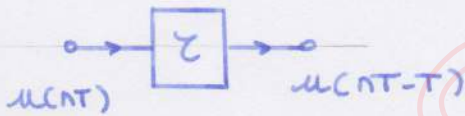
N^e orde systeem

als $b_i = 0$

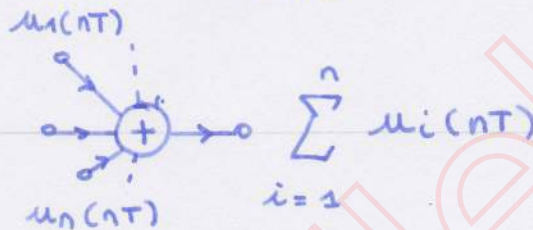
\rightarrow niet recursief systeem

Basisbouwstenen voor een LTD systeem

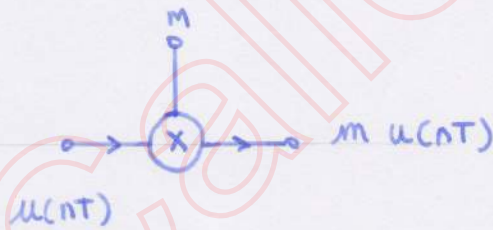
• eenheidsvertragingselement



• de opteller



• de vermenigvuldiger



Hoofdstuk 2

Studie van het gedrag van

lineaire Tjdsafh. Discrete

Systemen

Gilles Callebaut

Studie van $\Delta T D$ systemen in tijdsdomein

De impulsresponsie

$$\delta(nT) = \begin{cases} 1 & \text{voor } n=0 \\ 0 & \text{voor } n \neq 0 \end{cases}$$

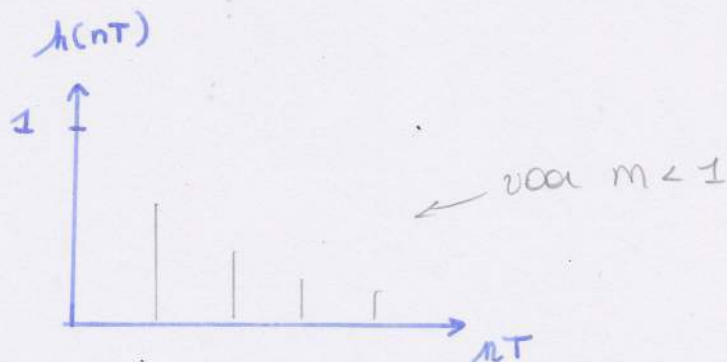
1^e orde systeem:

$$y(nT) = u(nT) + m y(nT-T)$$

$\downarrow = \delta(nT)$

| n | |
|-----|--|
| 0 | $y(0) = 1 + m \cdot y(-T) = 1$ ← y voor tijdstip 0 = 0 |
| 1 | $y(T) = 0 + m y(0) = m$ |
| ... | ... |
| k | $y(kT) = 0 + m y((k-1)T) = m^k$ |

⇒ $h(nT) = m^n$ ← impulsresponsie 1^e orde systeem



De responsie op een willekeurige tijddiscrete ingang

↙ $u(t) = \#$ componenten

$$u(nT) = \sum_{k=0}^n u(kT) \cdot \delta(nT - kT)$$



$$y(nT) = \sum_{k=0}^n u(kT) \cdot h(nT - kT)$$

↑
convolutiesom

$$y(nT) = u(nT) * h(nT)$$

stapresponsie

$$y(nT) = \sum_{k=0}^n I(nT - kT) h(kT)$$

$$q(nT) = \sum_{k=0}^n m^k = 1 + m + \dots + m^n$$

$$q(nT) = \frac{1 - m^{n+1}}{1 - m}$$

De z-transformatie

Definitie

$$Z[f(nT)] = F(z) = \sum_{n=0}^{\infty} f(nT) \cdot z^{-n}$$

De z-getransf. van enkele elementaire functies

• eenheidsimpuls

$$Z[\delta(nT)] = \sum_{n=0}^{\infty} \delta(nT) \cdot z^{-n} = 1$$

1 voor $n=0$
0 voor $n \neq 0$

• eenheidsstap

$$Z[\Gamma(nT)] = \sum_{n=0}^{\infty} \Gamma(nT) \cdot z^{-n} = \sum_{n=0}^{\infty} \left(\frac{1}{z}\right)^n$$

1 vanaf $n \geq 0$

$$= \frac{1}{1 - \frac{1}{z}} = \frac{z}{z-1}$$

• $\cos(n\pi) = (-1)^n$

$$Z[\cos(n\pi)] = \sum_{n=0}^{\infty} \cos(n\pi) \cdot z^{-n}$$

$= (-1)^n$

$$= z^0 - z^{-1} + z^{-2} - \dots$$

$$= \frac{1}{1 + \frac{1}{z}} = \frac{z}{z+1}$$

Eigenschappen v.d. z-transformatie

- lineariteit
- Tijdverschuiving

$$\begin{aligned} Z[f(nT-mT)] &= \sum_{n-m=0}^{\infty} f(n-m)T \cdot z^{-n} \\ &= \sum_{n=m}^{\infty} f(n-m)T \cdot z^{-n} \cdot z^m \\ &= z^{-m} \sum_{n'=0}^{\infty} f(n'T) \cdot z^{-n'} = F(z) \cdot z^{-m} \end{aligned}$$

$$Z[f(nT+mT)] = \sum_{n+m=0}^{\infty} f(n+m)T \cdot z^{-n} \cdot z^m$$

$$= \sum_{n'=m}^{\infty} f(n'T) \cdot z^{-n'} \cdot z^m$$

$$= \left(\sum_{n'=0}^{\infty} f(n'T) \cdot z^{-n'} - \sum_{n'=0}^{m-1} f(n'T) \cdot z^{-n'} \right) \cdot z^m$$

$$= F(z) \cdot z^m + \sum_{n'=0}^{m-1} f(n'T) \cdot z^{-n'} \cdot z^m$$

• vermenigvuldigen met een exponentiële reeks

$$Z[a^n f(nT)] = \sum_{n=0}^{\infty} a^n f(nT) \cdot z^{-n}$$

$$= \sum_{n=0}^{\infty} f(nT) \cdot \left(\frac{z}{a}\right)^{-n}$$

$$= F\left(\frac{z}{a}\right)$$

← kan e^{T} zijn kan $-a$ zijn ...

• vermenigvuldigen met de tijd

$$\frac{dF(z)}{dz} = \sum_{n=0}^{\infty} -n f(nT) \cdot z^{-n-1} = -z^{-1} \sum_{n=0}^{\infty} n f(nT) \cdot z^{-n}$$

$$Z[nT f(nT)] = \sum_{n=0}^{\infty} nT f(nT) \cdot z^{-n}$$

$$= -Tz \frac{dF(z)}{dz}$$

beginwaardstelling

$$\begin{aligned}\lim_{z \rightarrow \infty} F(z) &= \lim_{z \rightarrow \infty} \sum_{n=0}^{\infty} f(nT) \cdot z^{-n} \\ &= \lim_{z \rightarrow \infty} \left[f(0) + \frac{f(T)}{z} + \dots \right] = f(0) \\ &= \lim_{t \rightarrow 0} f(t)\end{aligned}$$

eindwaardstelling

$$\begin{aligned}S_n &= f(0) + \frac{f(T)}{z} + \dots + \frac{f(nT)}{z^n} \\ S_{n-1} &= f(0) + \frac{f(T)}{z} + \dots + \frac{f((n-1)T)}{z^{n-1}} \\ \Rightarrow S_n - \frac{1}{z} S_{n-1} &= \left(1 - \frac{1}{z}\right) \left[f(0) + \dots + \frac{f((n-1)T)}{z^{n-1}} \right] + \frac{f(nT)}{z^n}\end{aligned}$$

$$\lim_{z \rightarrow 1} \left(S_n - \frac{1}{z} S_{n-1} \right) = f(nT)$$

$$\downarrow \text{voor } n \rightarrow \infty \rightarrow \begin{aligned} S_n &= F(z) \\ S_{n-1} &= F(z) \end{aligned}$$

$$\lim_{z \rightarrow 1} \frac{z-1}{z} \cdot F(z) = f(\infty)$$

convolutiestelling

$$F(z) \cdot G(z) = \sum_{k=0}^{\infty} f(kT) \underbrace{z^{-k} G(z)}_{\downarrow \text{tijdoverschifting}}$$

$$= \sum_{k=0}^{\infty} f(kT) \cdot Z[g(nT - kT)]$$

$$= \sum_{k=0}^{\infty} f(kT) \sum_{n=0}^{\infty} g(nT - kT) \cdot z^{-n}$$

$$= \sum_{n=0}^{\infty} \left[\sum_{k=0}^{\infty} f(kT) g(nT - kT) \right] \cdot z^{-n}$$

$$= Z[f(kT) \cdot g(nT - kT)]$$

De inverse z-transformatie

splitsen in partieelbreuken

aanpakking vb.

$$F(z) = \frac{z}{z^2 - 3z + 2}$$

$$F(z) = \frac{1}{z^{n-1}} \cdot \frac{z^n}{z^2 - 3z + 2}$$

z^n

$$\begin{array}{r} z^2 - 3z + 2 \\ \hline z^{n-2} + \dots \end{array}$$

$$F(z) = (z^{n-2} + 3z^{n-3} + \dots) \cdot \frac{1}{z^{n-1}}$$

$$F(z) = z^{-1} + 3z^{-2} + \dots$$

$$f(nT) = 1 \cdot \delta(nT - T) + 3 \cdot \delta(nT - 2T)$$

Studie v.h. gedrag v.e. dTD systeem

op basis v.d. transferfunctie

$$y(nT) = \sum_{i=0}^N a_i \cdot u(nT-iT) - \sum_{i=1}^N b_i \cdot y(nT-iT)$$

$$Y(z) = \sum_{i=0}^N a_i z^{-i} U(z) - \sum_{i=1}^N b_i z^{-i} Y(z)$$

$$\frac{Y(z)}{U(z)} = H(z) = \frac{\sum_{i=0}^N a_i z^{N-i}}{z^N + \sum_{i=1}^N b_i z^{N-i}}$$

Het PND van $H(z)$

$$H(z) = k \frac{(z-z_1)(z-z_2)\dots}{(z-p_1)(z-p_2)\dots}$$

↖ nulpunten (o)

↖ polen (x)

↖ rekursief systeem → alle polen samen i.d. oorsprong

De impulsresponsie v.e. LTI systeem - de stabiliteit

de invloed v.d. ligging v.d. polen op de impulsresponsie

enkelvoudige polen: $A \cdot \frac{z}{z - p_i}$ (1)

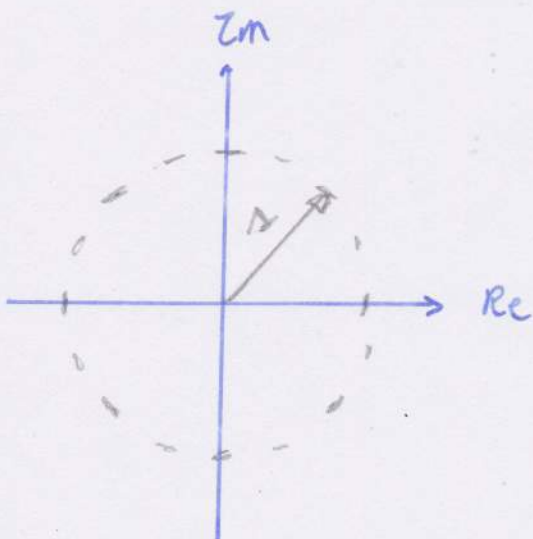
dubbele polen: $A \cdot \frac{z}{(z - p_i)^2}$ (2)

(1) $Z^{-1} \left[A \frac{z}{z - p_i} \right] = A \cdot (p_i)^n \cdot I'(nT)$

als $n \rightarrow \infty$: $= 0$ $|p_i| < 1$
 $= \text{ct.}$ $|p_i| = 1$
 $= \infty$ $|p_i| > 1$

(2) $Z^{-1} \left[A \frac{z}{(z - p_i)^2} \right] = A \cdot \frac{1}{p_i T} \cdot nT \cdot (p_i)^n \cdot I'(nT)$

als $n \rightarrow \infty$: $= 0$ $|p_i| < 1$



stabiel als polen
binnen/op de eenheidscirkel
liggen, maar $\bar{n}T$ op bij
dubbele polen.